

บทที่ 3

ผลและวิจารณ์

1. สมบัติของโคโตแซนจากเปลือกกุ้งกุลาดำ

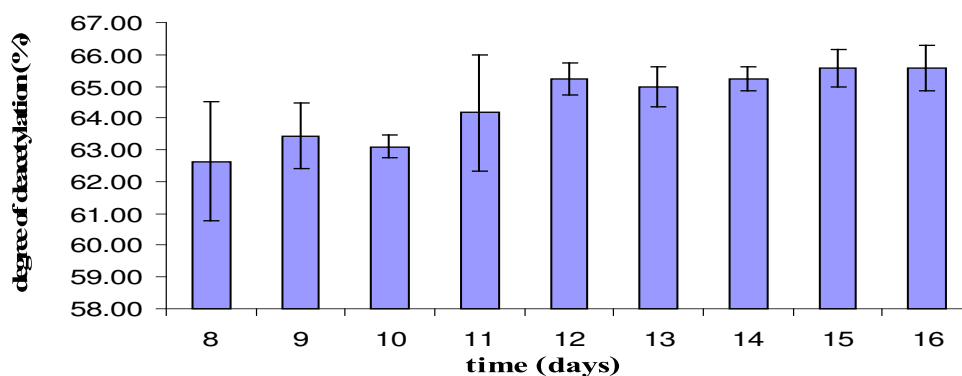
โคโตแซนมีสมบัติแตกต่างกันไป ขึ้นอยู่กับปัจจัยที่ใช้ในกระบวนการผลิต ไม่ว่าจะเป็นลำดับขั้นตอนการผลิต ชนิดและความเข้มข้นของสารเคมี ระยะเวลา อุณหภูมิ และความดันที่ใช้ในแต่ละขั้นตอนการผลิต จึงต้องทำการคัดเลือกสภาวะที่เหมาะสมในการผลิตโคโตแซนให้มีสมบัติตามที่ต้องการ ในการทดลองนี้ได้ผลิตโคโตแซนจากเปลือกกุ้งกุลาดำ ภายใต้ปัจจัยการผลิตที่แตกต่างกัน ส่งผลต่อสมบัติของโคโตแซน ดังนี้

1.1 ระดับการกำจัดหมู่อะซิทิล (degree of deacetylation)

ในการทดลองผลิตโคโตแซน โดยทำการกำจัดหมู่อะซิทิลของโคโตแซนด้วยสารละลายโซเดียมไฮดรอกไซด์เข้มข้นร้อยละ 50 (น้ำหนักต่อปริมาตร) ที่อุณหภูมิห้องเป็นระยะเวลาแตกต่างกันคือ 8 9 10 11 12 13 14 15 และ 16 วัน พบว่าเมื่อระยะเวลาเพิ่มขึ้น ส่งผลให้ระดับการกำจัดหมู่อะซิทิลเพิ่มขึ้น โดยโคโตแซนที่ผลิตได้มีระดับการกำจัดหมู่อะซิทิลอยู่ในช่วงร้อยละ 62.65-65.59 (ภาพที่ 4) ซึ่งค่าดังกล่าวยังไม่อยู่ในช่วงระดับการกำจัดหมู่อะซิทิลที่ต้องการ อาจเนื่องจากการกำจัดหมู่อะซิทิลให้มีความสูงกว่ร้อยละ 80 นั้นทำได้ยากในขั้นตอนเดียว โดยเฉพาะปฏิกิริยาที่ขนาดวัตถุไม่เป็นเนื้อเดียวกัน จะมีผลต่อความสามารถของสารเคมีในการแทรกตัวเข้าไปทำปฏิกิริยา จึงส่งผลต่อเนื้อต่อคุณภาพของโคโตแซนที่ผลิตได้ (Kurita *et al.*, 1993) ถ้าต้องการผลิตโคโตแซนที่มีระดับการกำจัดหมู่อะซิทิลสูง ให้ใช้สภาวะในการทำปฏิกิริยาที่รุนแรงขึ้นคือ เพิ่มความเข้มข้นของด่าง การใช้อุณหภูมิสูงในการทำปฏิกิริยา หรือการทำปฏิกิริยากับด่างซ้ำหลายๆ ครั้ง (จิราภรณ์ เชาวลิตสุขุมาวลี, 2544)

ในการทดลองครั้งนี้เลือกใช้วิธีการทำปฏิกิริยากับด่างซ้ำอีกครั้งและเพิ่มอุณหภูมิให้สูงขึ้น โดยเลือกโคโตแซนที่ผ่านการกำจัดหมู่อะซิทิลเป็นระยะเวลา 10 วัน แช่ในสารละลายโซเดียมไฮดรอกไซด์เข้มข้นร้อยละ 50 (น้ำหนักต่อปริมาตร) และเพิ่มอุณหภูมิในการทำปฏิกิริยาเป็น 60 องศาเซลเซียส ที่ระยะเวลาแตกต่างกันคือ 1 2 และ 3 ชั่วโมง พบว่าเมื่อระยะเวลาเพิ่มขึ้น ส่งผลให้ระดับการกำจัดหมู่อะซิทิลเพิ่มขึ้น โดยโคโตแซนที่ผลิตได้มีระดับการกำจัดหมู่อะซิทิลเท่ากับร้อยละ 78.55 83.41 และ 86.98 ตามลำดับ ($p < 0.05$) (ตารางภาคผนวกที่ 1) (ภาพที่ 5) ซึ่งอธิบายได้ว่าเมื่อใช้ระยะเวลาในการกำจัดหมู่อะซิทิลเพิ่มขึ้น ปริมาณอะซิเตดที่ถูกกำจัดออกไปก็มากขึ้น ส่งผลให้ระดับการกำจัดหมู่อะซิทิลมีค่าเพิ่มขึ้น (Muzzarelli, 1977) และมีความสามารถในการ

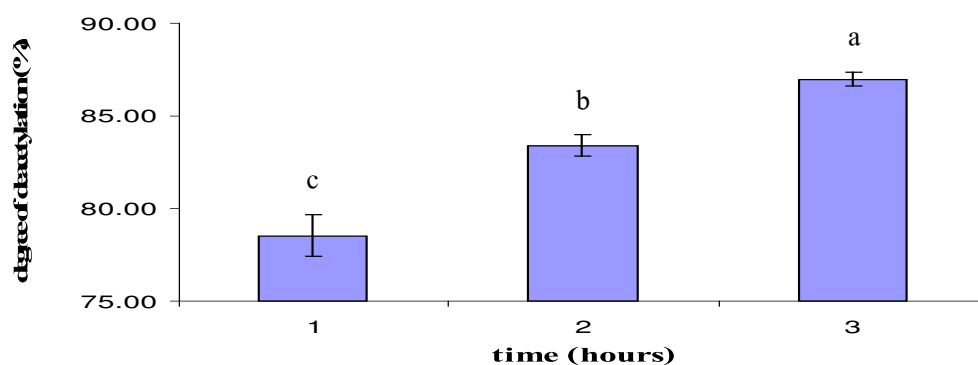
ละลายในสารละลายกรดได้ เพราะเมื่อหมู่อะซิทิลถูกกำจัดออกไปมากกว่าร้อยละ 60 ไคโตแซนสามารถละลายได้ในกรดอินทรีย์หลายชนิด เช่น กรดอะซิติก กรดแลคติก กรดบิวทีริก เนื่องจากมีหมู่อะมิโนอิสระซึ่งเป็นประจุบวก ทำให้ความสามารถในการละลายเพิ่มขึ้น (Robert, 1997) ผลที่ได้สามารถแบ่งไคโตแซนตามระดับการกำจัดหมู่อะซิทิลออกเป็น 3 กลุ่ม คือ ระดับการกำจัดหมู่อะซิทิลระดับต่ำ ระดับปานกลาง และระดับสูง โดยมีค่าดังกล่าวร้อยละ 78.55 83.41 และ 86.98 ตามลำดับ



ภาพที่ 4 ผลของระยะเวลาที่ใช้ในการกำจัดหมู่อะซิทิลที่อุณหภูมิห้องต่อระดับการกำจัดหมู่อะซิทิลของไคโตแซน บาร์=ค่าเบี่ยงเบนมาตรฐานจากการทดลอง 3 ซ้ำ

Figure 4. Effect of deacetylation time at room temperature on degree of deacetylation of chitosan

Bars represent S.D. (n=3)



ภาพที่ 5 ผลของระยะเวลาที่ใช้ในการกำจัดหมู่อะซิทิลครั้งที่ 2 ที่อุณหภูมิ 60°C ต่อระดับการกำจัดหมู่อะซิทิลของไคโตแซน บาร์=ค่าเบี่ยงเบนมาตรฐานจากการทดลอง 3 ซ้ำ ตัวอักษรที่ต่างกันมีความแตกต่างอย่างมีนัยสำคัญทางสถิติ ($p < 0.05$)

Figure 5. Effect of the redeacetylation time at 60°C on degree of deacetylation of chitosan

Bars represent S.D. (n=3)

Different letters on the bars indicate the significant differences ($p < 0.05$)

1.2 ความหนืด (viscosity)

เมื่อนำไคโตแซนจากข้อ 1.1 ซึ่งมีระดับการกำจัดหมู่อะซิทิลแตกต่างกัน 3 ระดับ คือ ร้อยละ 78.55 83.41 และ 86.98 มาเตรียมเป็นสารละลายที่ระดับความเข้มข้นแตกต่างกันคือ ร้อยละ 1.5 และ 2.0 ในสารละลายกรดอะซิติกเข้มข้นร้อยละ 1.0 แล้ววัดค่าความหนืด ผลการทดลองพบว่าเมื่อความเข้มข้นของไคโตแซนเพิ่มขึ้นส่งผลให้ความหนืดของสารละลายไคโตแซนมีค่าเพิ่มขึ้นอย่างมีนัยสำคัญทางสถิติในทุกระดับการกำจัดหมู่อะซิทิล ($p < 0.05$) (ตารางภาคผนวกที่ 2) (ตารางที่ 5) เนื่องจากที่ระดับความเข้มข้นสูง มีปริมาณไคโตแซนละลายอยู่ในสารละลายมาก ทำให้เกิดพันธะและการประสานตัวระหว่างโมเลกุลหรืออนุภาคจำนวนมาก ส่งผลให้ความหนืดของสารละลายไคโตแซนมีค่าเพิ่มขึ้น (Rodriguez *et al.*, 2000; Hosokawa *et al.*, 1990)

นอกจากนี้ยังพบว่าเมื่อระดับการกำจัดหมู่อะซิทิลของไคโตแซนมีค่าเพิ่มขึ้น ความหนืดของสารละลายไคโตแซนมีแนวโน้มลดลง (ตารางที่ 5) เนื่องจากในกระบวนการผลิตไคโตแซนที่มีระดับการกำจัดหมู่อะซิทิลสูง ต้องใช้ความเข้มข้นต่ำ และระยะเวลาในการกำจัดหมู่อะซิทิลเพิ่มขึ้น ส่งผลให้สมบัติของไคโตแซนเปลี่ยนแปลงไป ทำให้ความหนืดของสารละลายไคโตแซนมีค่าลดลง (No *et al.*, 2000; Bough *et al.*, 1978; Wu and Bough, 1978; Muzzarelli, 1977) โดยที่ระดับความเข้มข้นของไคโตแซนร้อยละ 1.5 ที่ระดับการกำจัดหมู่อะซิทิลร้อยละ 78.55 มีความหนืดของสารละลายไคโตแซนแตกต่างกับที่ระดับการกำจัดหมู่อะซิทิลร้อยละ 83.41 และ 86.98 เนื่องจากที่ระดับการกำจัดหมู่อะซิทิลต่ำ ไคโตแซนสามารถละลายในสารละลายกรดได้น้อย ประกอบกับการใช้ความเข้มข้นของไคโตแซนต่ำ ทำให้ความหนืดที่ได้มีค่าแตกต่างจากความหนืดของสารละลายไคโตแซนที่ระดับการกำจัดหมู่อะซิทิลสูง (Rodriguez *et al.*, 2000) นอกจากนี้พบว่าที่ระดับความเข้มข้นของไคโตแซนร้อยละ 2 ที่ระดับการกำจัดหมู่อะซิทิลต่างกัน ค่าความหนืดของสารละลายไคโตแซนไม่แตกต่างกันอย่างมีนัยสำคัญทางสถิติ ($p > 0.05$) (ตารางภาคผนวกที่ 2) เนื่องจากความเข้มข้นของไคโตแซนสูงมากเกินพอ มีไคโตแซนละลายอยู่ในสารละลายมาก ส่งผลให้ความหนืดของสารละลายไคโตแซนมีค่าไม่แตกต่างกัน

ตารางที่ 5 ความหนืดของสารละลายไคโตแซนที่มีระดับการกำจัดหมู่อะซิทิลต่างกัน

Table 5. Viscosity of chitosan solution with different degree of deacetylation

Degree of deacetylation (%)	Viscosity (cps)*	
	1.5 % chitosan concentration	2.0 % chitosan concentration
78.55	140.00±0.73 ^{aB}	189.72±0.79 ^{aA}
83.41	137.44±1.23 ^{bB}	188.13±0.75 ^{aA}
86.98	135.72±1.67 ^{bB}	184.69±4.84 ^{aA}

อักษรตัวพิมพ์เล็กที่ต่างกันในกลุ่มเดียวกันมีความแตกต่างอย่างมีนัยสำคัญทางสถิติ ($p < 0.05$)

อักษรตัวพิมพ์ใหญ่ที่ต่างกันในกลุ่มเดียวกันมีความแตกต่างอย่างมีนัยสำคัญทางสถิติ ($p < 0.05$)

* ค่าเฉลี่ย ± ค่าเบี่ยงเบนมาตรฐานจากการทดลอง 3 ซ้ำ * Mean ± standard deviation (n=3)

Different small letters in the same column indicate the significant differences ($p < 0.05$)

Different capital letters in the same row indicate the significant differences ($p < 0.05$)

1.3 ความสามารถในการจับน้ำ (water binding capacity) และความสามารถในการจับไขมัน (fat binding capacity)

การศึกษาความสามารถในการจับน้ำ (water binding capacity) และความสามารถในการจับไขมัน (fat binding capacity) ของไคโตแซนจากข้อ 1.1 ซึ่งมีระดับการกำจัดหมู่อะซิทิลแตกต่างกัน 3 ระดับ คือร้อยละ 78.55 83.41 และ 86.98 พบว่าเมื่อระดับการกำจัดหมู่อะซิทิลของไคโตแซนมีค่าเพิ่มขึ้น ส่งผลให้มีความสามารถในการจับน้ำเพิ่มขึ้น (ตารางที่ 6) โดยที่ระดับการกำจัดหมู่อะซิทิลร้อยละ 86.98 มีความสามารถในการจับน้ำแตกต่างจากที่ระดับการกำจัดหมู่อะซิทิลร้อยละ 78.55 และ 83.41 อย่างมีนัยสำคัญทางสถิติ ($p < 0.05$) (ตารางภาคผนวกที่ 3) เนื่องจากไคโตแซนที่มีระดับการกำจัดหมู่อะซิทิลสูง มีหมู่ที่มีประจุจากหมู่อะมิโนอิสระ (NH_2) จำนวนมาก ซึ่งเป็นส่วนที่สามารถจับกับน้ำ จึงมีความสามารถในการจับน้ำเพิ่มขึ้น (No *et al.*, 2000; Winterowd and Sandford, 1995)

ในการทดลองนี้ยังพบว่าเมื่อระดับการกำจัดหมู่อะซิทิลของไคโตแซนมีค่าเพิ่มขึ้น ส่งผลให้ความสามารถในการจับไขมันมีแนวโน้มเพิ่มขึ้น แต่ไม่แตกต่างกันทางสถิติ ($p > 0.05$) (ตารางภาคผนวกที่ 3) ทั้งนี้อาจเนื่องจากตัวอย่างไคโตแซนในการทดลองนี้มีลักษณะโครงสร้างที่มีผลต่อความสามารถในการจับไขมันคือส่วนที่ไม่มีประจุไม่มากพอ ดังนั้นระดับการกำจัดหมู่อะซิทิลของไคโตแซนจึงไม่ส่งผลต่อความสามารถในการจับไขมัน (No *et al.*, 2000) อย่างไรก็ตามแม้

ว่าค่าความสามารถในการจับไขมันจะไม่แตกต่างกันทางสถิติ แต่มีแนวโน้มเพิ่มขึ้นเมื่อระดับการกำจัดหมู่อะซิทิลเพิ่มขึ้น อาจเนื่องจากการผลิตไคโตแซน เพื่อให้ได้ระดับการกำจัดหมู่ อะซิทิลสูง ต้องใช้ความเข้มข้นต่าง และระยะเวลาในการกำจัดหมู่อะซิทิลเพิ่มขึ้น ส่งผลให้สมบัติของไคโตแซนเปลี่ยนแปลงไป ความสามารถในการจับไขมันจึงมีแนวโน้มเพิ่มขึ้น (No *et al.*, 2000; Bough *et al.*, 1978; Wu and Bough, 1978; Muzzarelli, 1977)

ตารางที่ 6 ความสามารถในการจับน้ำและความสามารถในการจับไขมันของไคโตแซนที่มีระดับการกำจัดหมู่อะซิทิลต่างกัน

Table 6. Water binding capacity and fat binding capacity of chitosan with different degree of deacetylation

Degree of deacetylation (%)	Water binding capacity (%)*	Fat binding capacity (%)*
78.55	267.25±9.18 ^b	152.53±6.86 ^a
83.41	281.18±4.44 ^b	149.81±4.40 ^a
86.98	493.88±10.58 ^a	162.09±9.95 ^a

ตัวอักษรที่ต่างกันในกลุ่มเดียวกันมีความแตกต่างอย่างมีนัยสำคัญทางสถิติ ($p < 0.05$)

* ค่าเฉลี่ย ± ค่าเบี่ยงเบนมาตรฐานจากการทดลอง 3 ซ้ำ * Mean ± standard deviation (n=3)

Different letters in the same column indicate the significant differences ($p < 0.05$)

1.4 ค่าสมดุลของหมู่ที่ชอบน้ำกับหมู่ที่ชอบไขมัน (hydrophilic lipophilic balance, HLB)

การวิเคราะห์ค่า HLB ของไคโตแซน ซึ่งมีระดับการกำจัดหมู่อะซิทิลแตกต่างกัน 3 ระดับ คือร้อยละ 78.55 83.41 และ 86.98 โดยการคำนวณค่า HLB จากสมการของกราฟมาตรฐานคือ $y = 1.261x + 5.0159$ (ภาคผนวก ก ข้อ 5) ผลการทดลองพบว่าเมื่อระดับการกำจัดหมู่อะซิทิลของ ไคโตแซนมีค่าเพิ่มขึ้น ส่งผลให้ค่า HLB มีค่าเพิ่มขึ้นอย่างมีนัยสำคัญทางสถิติ ($p < 0.05$) (ตารางภาคผนวกที่ 3) (ตารางที่ 7) โดยทั่วไปสารที่มีคุณสมบัติลดแรงตึงผิว และมีค่า HLB สูง บ่งบอกถึงความสามารถในการจับกับน้ำได้ดี และใช้ในการเตรียมอิมัลชันชนิดน้ำมันในน้ำ (McClements, 2000) เนื่องจากเมื่อระดับการกำจัดหมู่อะซิทิลสูง โครงสร้างโมเลกุลของไคโตแซนมีหมู่เอมิโนอิสระ (NH_2) เพิ่มขึ้น สามารถรับโปรตอน และทำให้พอลิเมอร์ที่ได้มีประจุเป็นบวก จึงมีความสามารถในการจับน้ำได้ดี ค่า HLB จึงมีค่าสูงขึ้น (Rodriguez *et al.*, 2002) ในการศึกษาพบว่าไคโตแซนมีค่า HLB อยู่ในช่วง 25-44 ซึ่งใกล้เคียงกับการทดลองอื่นที่พบว่าไคโตแซนมีค่า HLB เท่ากับ 34 และ 36.7 (Rodriguez *et al.*, 2002; Schulz *et al.*, 1998)

ตารางที่ 7 ค่าสมดุลของหมู่ที่ชอบน้ำกับหมู่ที่ชอบไขมันของไคโตแซนที่มีระดับการกำจัดหมู่อะซิทิลต่างกัน

Table 7. Hydrophilic lipophilic balance (HLB) of chitosan with different degree of deacetylation

Degree of deacetylation (%)	HLB*
78.55	24.57±0.84 ^c
83.41	35.07±0.74 ^b
86.98	43.13±1.01 ^a

ตัวอักษรที่ต่างกันในกลุ่มเดียวกันมีความแตกต่างอย่างมีนัยสำคัญทางสถิติ ($p < 0.05$)

* ค่าเฉลี่ย ± ค่าเบี่ยงเบนมาตรฐานจากการทดลอง 3 ซ้ำ * Mean ± standard deviation (n=3)

Different letters in the same column indicate the significant differences ($p < 0.05$)

2. การเตรียมและศึกษาสมบัติของไคโตแซนที่มีน้ำหนักโมเลกุลต่างกัน

การนำไคโตแซนไปใช้ให้เกิดประโยชน์ จำเป็นต้องศึกษาถึงสมบัติพื้นฐานของไคโตแซน โดยเฉพาะน้ำหนักโมเลกุลของไคโตแซน ซึ่งสามารถบ่งบอกถึง คุณสมบัติด้านความหนืด ความสามารถในการจับน้ำ และจับไขมัน รวมทั้งค่าสมดุลของหมู่ที่ชอบน้ำกับหมู่ที่ชอบไขมันของไคโตแซน จึงทำการศึกษาสมบัติของไคโตแซนที่มีน้ำหนักโมเลกุลต่างกัน โดย ไฮโดรไลส์ไคโตแซนที่สภาวะแตกต่างกัน และนำไคโตแซนดังกล่าวไปวิเคราะห์สมบัติของ ไคโตแซนได้ผลดังนี้

2.1 สภาวะที่ใช้ในการไฮโดรไลส์ไคโตแซน

การไฮโดรไลส์ไคโตแซนให้มีน้ำหนักโมเลกุล 3 ระดับคือ น้ำหนักโมเลกุลต่ำ (100-500 กิโลดาลตัน) น้ำหนักโมเลกุลปานกลาง (600-1000 กิโลดาลตัน) และน้ำหนักโมเลกุลสูง (1100-1500 กิโลดาลตัน) โดยนำไคโตแซนที่มีระดับการกำจัดหมู่อะซิทิลร้อยละ 78.55 (ข้อ 1.1) มาเป็นตัวแทนในการหาสภาวะที่เหมาะสมในการไฮโดรไลส์ไคโตแซนด้วยสารละลายกรดไฮโดรคลอริกเข้มข้น 2 นอร์มอล เป็นระยะเวลา 0.5 และ 1 ชั่วโมง ที่อุณหภูมิห้อง (25-28 องศาเซลเซียส) และอุณหภูมิ 60 องศาเซลเซียส พบว่าไคโตแซนที่ไม่ผ่านการไฮโดรไลส์มีค่าน้ำหนักโมเลกุล 1326.74 กิโลดาลตัน ซึ่งจัดได้ว่ามีน้ำหนักโมเลกุลสูง ส่วนไคโตแซนที่ผ่านการไฮโดรไลส์มีค่าน้ำหนักโมเลกุลแตกต่างกันไปขึ้นอยู่กับสภาวะที่ใช้ในการไฮโดรไลส์ เมื่อระยะเวลา และอุณหภูมิในการไฮโดรไลส์มีค่าเพิ่มขึ้น ส่งผลให้น้ำหนักโมเลกุลมีค่าลดลงอย่างมีนัยสำคัญทางสถิติ ($p < 0.05$) (ตารางภาคผนวกที่ 4) (ตารางที่ 8) เนื่องจากในสภาวะที่เป็นกรด พอลิเมอร์ของไคโตแซนอาจถูกตัด

ที่พันธะ β -glycosidic ทำให้พอลิเมอร์มีขนาดเล็กลง ทั้งนี้ขึ้นอยู่กับสภาวะที่ใช้ในการไฮโดรไลส์ การเพิ่มอุณหภูมิและเวลาในการไฮโดรไลส์ เป็นการเร่งปฏิกิริยาไฮโดรไลซิสจึงส่งผลให้โคโตแซน ที่ได้มีน้ำหนักโมเลกุลลดลง (ภาวดี เมระคานนท์ และคณะ, 2542; Winterowd and Sandford, 1995) จากผลการทดลองสามารถคัดเลือกสภาวะที่ใช้ในการไฮโดรไลส์โคโตแซนให้มีน้ำหนักโมเลกุล ตามที่ต้องการดังแสดงในตารางที่ 9 ทำการผลิตโคโตแซนภายใต้สภาวะที่ผ่านการคัดเลือก ทำให้ได้ โคโตแซนทั้งหมด 9 ชนิด ซึ่งมีระดับการกำจัดหมู่อะซิทิลและน้ำหนักโมเลกุลแตกต่างกัน เพื่อใช้ในการศึกษาสมบัติของโคโตแซนต่อไป

ตารางที่ 8 น้ำหนักโมเลกุลของโคโตแซนที่ผ่านการไฮโดรไลส์ที่สภาวะแตกต่างกัน

Table 8. Molecular weight of chitosan hydrolysed at different conditions

Hydrolysis temperature (°C)	Molecular weight (kDa)*	
	Hydrolysis time (h)	
	0.5	1
25-28	1299.76±78.82 ^{aA}	943.54±30.86 ^{aB}
60	1026.74±67.33 ^{bA}	419.22±79.19 ^{bB}

อักษรตัวพิมพ์เล็กที่ต่างกันในกลุ่มเดียวกันมีความแตกต่างอย่างมีนัยสำคัญทางสถิติ ($p < 0.05$)

อักษรตัวพิมพ์ใหญ่ที่ต่างกันในกลุ่มเดียวกันมีความแตกต่างอย่างมีนัยสำคัญทางสถิติ ($p < 0.05$)

* ค่าเฉลี่ย \pm ค่าเบี่ยงเบนมาตรฐานจากการทดลอง 3 ซ้ำ * Mean \pm standard deviation (n=3)

Different small letters in the same column indicate the significant differences ($p < 0.05$)

Different capital letters in the same row indicate the significant differences ($p < 0.05$)

ตารางที่ 9 สมบัติของไคโตแซนที่สภาวะการไฮโดรไลส์แตกต่างกัน

Table 9. Characteristics of chitosan with different hydrolysis conditions

Chitosan product	Degree of deacetylation (%) (actual value)	Molecular weight (KDa) (actual value)	Hydrolysis conditions	
			Time (h)	Temperature (°C)
1	75-80 (79.96)	100-500 (419.22)	1	60
2	75-80 (78.63)	600-1000 (943.54)	1	25-28
3*	75-80 (78.55)	1100-1500 (1326.74)	-	-
4	81-85 (84.87)	100-500 (213.32)	1	60
5	81-85 (83.92)	600-1000 (768.48)	1	25-28
6*	81-85 (83.41)	1100-1500 (1208.34)	-	-
7	86-90 (87.12)	100-500 (219.57)	1	60
8	86-90 (87.04)	600-1000 (672.96)	1	25-28
9*	86-90 (86.98)	1100-1500 (1230.31)	-	-

* = ไม่ผ่านการไฮโดรไลส์ (non hydrolyzed)

2.2 ความหนืด (viscosity)

นำไคโตแซนทั้ง 9 ชนิดจากข้อ 2.1 (ตารางที่ 9) มาเตรียมเป็นสารละลายที่ระดับความเข้มข้นแตกต่างกัน คือ ร้อยละ 1.5 และ 2.0 ในสารละลายกรดอะซิติกเข้มข้นร้อยละ 1.0 แล้ววัดค่าความหนืด พบว่าเมื่อความเข้มข้นของไคโตแซนเพิ่มขึ้น ส่งผลให้ความหนืดของสารละลายไคโตแซนเพิ่มขึ้นอย่างมีนัยสำคัญทางสถิติ ($p < 0.05$) (ตารางภาคผนวกที่ 5) (ตารางที่ 10) เนื่องจากที่ระดับความเข้มข้นสูง มีปริมาณไคโตแซนละลายอยู่ในสารละลายมาก ทำให้เกิดพันธะและการประสานตัวระหว่างโมเลกุลหรืออนุภาคจำนวนมาก ส่งผลให้ความหนืดของสารละลายไคโตแซนมีค่าเพิ่มขึ้น (Rodriguez *et al.*, 2000; Hosokawa *et al.*, 1990)

นอกจากนี้พบว่าไคโตแซนที่มีระดับการกำจัดหมู่อะซิติกเท่ากัน เมื่อนำหนักโมเลกุลของไคโตแซนเพิ่มขึ้น ส่งผลให้ความหนืดของสารละลายไคโตแซนเพิ่มขึ้นอย่างมีนัยสำคัญทางสถิติ ($p < 0.05$) (ตารางภาคผนวกที่ 5) (ตารางที่ 10) เนื่องจากไคโตแซนที่มีน้ำหนักโมเลกุลสูงมีโครงสร้างพอลิเมอร์ขนาดใหญ่ (ภาวดี เมธะคานนท์ และคณะ, 2542; Winterowd and Sandford, 1995) เมื่อละลายในสารละลายกรด ทำให้เกิดพันธะและเกิดการประสานตัวระหว่าง

โมเลกุลหรืออนุภาคของโครงสร้างพอลิเมอร์ขนาดใหญ่ จึงส่งผลให้ความหนืดของสารละลายไคโตแซนมีค่าเพิ่มขึ้น (No *et al.*, 2000; Hosokawa *et al.*, 1990; Muzzarelli, 1977)

ตารางที่ 10 ความหนืดของสารละลายไคโตแซนที่มีน้ำหนักโมเลกุลแตกต่างกัน

Table 10. Viscosity of chitosan solution with different molecular weight

Degree of deacetylation (%) (actual value)	Molecular weight (kDa) (actual value)	Viscosity (cps)*	
		1.5% chitosan solution	2.0% chitosan solution
75-80 (79.96)	100-500 (419.22)	49.61±0.10 ^{gB}	93.50±0.83 ^{dA}
75-80 (78.63)	600-1000 (943.54)	73.56±0.96 ^{dB}	130.94±1.68 ^{cA}
75-80 (78.55)	1100-1500 (1326.74)	140.00±0.73 ^{aB}	189.72±0.79 ^{aA}
81-85 (84.87)	100-500 (213.32)	49.00±0.17 ^{gA}	90.83±0.73 ^{dA}
81-85 (83.92)	600-1000 (768.48)	68.28±0.10 ^{eB}	128.56±1.08 ^{cA}
81-85 (83.41)	1100-1500 (1208.34)	137.44±1.23 ^{bB}	188.13±0.75 ^{aA}
86-90 (87.12)	100-500 (219.57)	46.50±0.44 ^{hB}	91.39±0.10 ^{dA}
86-90 (87.04)	600-1000 (672.96)	66.61±0.48 ^{fB}	127.78±0.25 ^{cA}
86-90 (86.98)	1100-1500 (1230.31)	135.72±1.67 ^{cB}	184.69±4.84 ^{bA}

อักษรตัวพิมพ์เล็กที่ต่างกันในกลุ่มเดียวกันมีความแตกต่างอย่างมีนัยสำคัญทางสถิติ ($p < 0.05$)

อักษรตัวพิมพ์ใหญ่ที่ต่างกันในกลุ่มเดียวกันมีความแตกต่างอย่างมีนัยสำคัญทางสถิติ ($p < 0.05$)

* ค่าเฉลี่ย ± ค่าเบี่ยงเบนมาตรฐานจากการทดลอง 3 ซ้ำ * Mean ± standard deviation (n=3)

Different small letters in the same column indicate the significant differences ($p < 0.05$)

Different capital letters in the same row indicate the significant differences ($p < 0.05$)

2.3 ความสามารถในการจับน้ำ (water binding capacity) และความสามารถในการจับไขมัน (fat binding capacity)

การศึกษาศามารถในการจับน้ำ (water binding capacity) และความสามารถในการจับไขมัน (fat binding capacity) ของไคโตแซนทั้ง 9 ชนิดจากข้อ 2.1 (ตารางที่ 9) พบว่าไคโตแซนที่มีระดับการกำจัดหมู่อะซิทิลเดียวกัน เมื่อน้ำหนักโมเลกุลของไคโตแซนเพิ่มขึ้น ส่งผลให้มีความสามารถในการจับน้ำลดลงอย่างมีนัยสำคัญทางสถิติ ($p < 0.05$) (ตารางภาคผนวกที่ 6) (ตารางที่ 11) เนื่องจากไคโตแซนที่มีน้ำหนักโมเลกุลต่ำมีโครงสร้างเป็นพอลิเมอร์ขนาดเล็ก จึงมีพื้นที่

ในการสัมผัสกับน้ำได้มากขึ้น (ภาวดี เมระคานนท์ และคณะ, 2542; No *et al.*, 2000; Winterowd and Sandford, 1995) นอกจากนี้พบว่าในขั้นตอนการผลิตไคโตแซนมีผลต่อสมบัติของไคโตแซน โดยไคโตแซนที่มีน้ำหนักโมเลกุลต่ำมักเป็นกลุ่มไคโตแซนที่มีระดับการกำจัดหมู่อะซิทิลสูง จึงมีกลุ่มอะมิโนอิสระ (NH_2) ซึ่งมีประจุบวกจำนวนมาก ส่งผลให้มีความสามารถในการจับน้ำได้สูงขึ้น (Kurita, 1993; Muzzarelli, 1977)

ในการทดลองนี้ยังพบว่าไคโตแซนที่มีระดับการกำจัดหมู่อะซิทิลเดียวกัน เมื่อน้ำหนักโมเลกุลของไคโตแซนเพิ่มขึ้น ส่งผลให้ความสามารถในการจับไขมันลดลงอย่างมีนัยสำคัญทางสถิติ ($p < 0.05$) (ตารางภาคผนวกที่ 7) เนื่องจากโครงสร้างของไคโตแซนที่มีผลต่อความสามารถในการจับไขมันคือส่วนที่ไม่มีประจุ ดังนั้นไคโตแซนที่มีน้ำหนักโมเลกุลต่ำ มีโครงสร้างเป็น พอลิเมอร์ขนาดเล็ก ทำให้มีพื้นที่ในการสัมผัสกับไขมันได้มากขึ้น จึงมีความสามารถในการจับไขมันได้ดีขึ้น (ภาวดี เมระคานนท์ และคณะ, 2542; No *et al.*, 2000; Winterowd and Sandford, 1995)

ตารางที่ 11 ความสามารถในการจับน้ำและความสามารถในการจับไขมันของไคโตแซนที่มีน้ำหนักโมเลกุลต่างกัน

Table 11. Water binding capacity and fat binding capacity of chitosan with different molecular weight

Degree of deacetylation (%) (actual value)	Molecular weight (kDa) (actual value)	Water binding capacity* (%)	Fat binding capacity* (%)
75-80 (79.96)	100-500 (419.22)	548.25±5.20 ^c	553.91±8.60 ^b
75-80 (78.63)	600-1000 (943.54)	353.55±5.48 ^e	190.45±8.43 ^d
75-80 (78.55)	1100-1500(1326.74)	267.25±9.18 ⁱ	152.53±6.86 ^c
81-85 (84.87)	100-500 (213.32)	628.23±6.11 ^b	580.88±6.76 ^a
81-85 (83.92)	600-1000 (768.48)	572.02±6.01 ^d	197.59±1.78 ^d
81-85 (83.41)	1100-1500(1208.34)	281.18±4.44 ^h	149.81±4.40 ^e
86-90 (87.12)	100-500 (219.57)	688.25±10.62 ^a	590.23±12.44 ^a
86-90 (87.04)	600-1000 (672.96)	608.42± 5.97 ^c	223.80±9.65 ^c
86-90 (86.98)	1100-1500(1230.31)	493.88±10.58 ^f	162.09±9.95 ^e

ตัวอักษรที่ต่างกันในกลุ่มเดียวกันมีความแตกต่างอย่างมีนัยสำคัญทางสถิติ ($p < 0.05$)

* ค่าเฉลี่ย ± ค่าเบี่ยงเบนมาตรฐานจากการทดลอง 3 ซ้ำ * Mean ± standard deviation (n=3)

Different letters in the same column indicate the significant differences ($p < 0.05$)

2.4 ค่าสมดุลของหมู่ที่ชอบน้ำกับหมู่ที่ชอบไขมัน (hydrophilic lipophilic balance, HLB)

การวิเคราะห์ค่า HLB ของไคโตแซนทั้ง 9 ชนิดจากข้อ 2.1 (ตารางที่ 9) โดยคำนวณค่า HLB จากสมการของกราฟมาตรฐานคือ $y = 1.261x + 5.0159$ (ภาคผนวก ก ข้อ 5) ผลการทดลองพบว่าไคโตแซนที่มีระดับการกำจัดหมู่อะซิทิลเดียวกัน เมื่อน้ำหนักโมเลกุลของไคโตแซนมีค่าเพิ่มขึ้น ส่งผลให้ค่า HLB มีค่าลดลงอย่างมีนัยสำคัญทางสถิติ ($p < 0.05$) (ตารางภาคผนวกที่ 8) (ตารางที่ 12) เนื่องจากไคโตแซนที่มีน้ำหนักโมเลกุลต่ำมีโครงสร้างเป็นพอลิเมอร์ขนาดเล็ก จึงมีพื้นที่ในการสัมผัสกับน้ำได้มากขึ้น ส่งผลให้ค่า HLB มีค่าสูงขึ้น (ภาวดี เมธะคานนท์ และคณะ, 2542; Rodriguez *et al.*, 2002; Winterowd and Sandford, 1995) นอกจากนี้พบว่าในขั้นตอนการผลิต ไคโตแซนมีผลต่อสมบัติของไคโตแซน โดยไคโตแซนที่มีน้ำหนักโมเลกุลต่ำมักเป็นกลุ่มไคโตแซนซึ่งมีระดับการกำจัดหมู่อะซิทิลสูง จึงมีกลุ่มอะมิโนอิสระ (NH_2) ซึ่งมีประจุบวกจำนวนมาก ประจุบวกที่เกิดขึ้นจะจับกับน้ำ ส่งผลให้ค่า HLB มีค่าสูงขึ้น (Kurita, 1993; Muzzarelli, 1977) โดยทั่วไปสารที่มีคุณสมบัติลดแรงตึงผิวและมีค่า HLB สูง บ่งบอกถึงความสามารถในการจับกับน้ำได้ดี และใช้ในการเตรียมอิมัลชันชนิดน้ำมันในน้ำ (McClements, 2000)

ตารางที่ 12 ค่าสมดุลของหมู่ที่ชอบน้ำกับหมู่ที่ชอบไขมันของไคโตแซนที่มีน้ำหนักโมเลกุลต่างกัน

Table 12. Hydrophilic lipophilic balance (HLB) of chitosan with different molecular weight

Degree of deacetylation (%) (actual value)	Molecular weight (kDa) (actual value)	HLB*
75-80 (79.96)	100-500 (419.22)	29.75±0.61 ^g
75-80 (78.63)	600-1000 (943.54)	26.79±0.71 ^h
75-80 (78.55)	1100-1500 (1326.74)	24.57±0.84 ⁱ
81-85 (84.87)	100-500 (213.32)	44.40±0.96 ^c
81-85 (83.92)	600-1000 (768.48)	40.09±0.37 ^e
81-85 (83.41)	1100-1500 (1208.34)	35.07±0.74 ^f
86-90 (87.12)	100-500 (219.57)	50.71±0.48 ^a
86-90 (87.04)	600-1000 (672.96)	47.60±0.40 ^b
86-90 (86.98)	1100-1500 (1230.31)	43.13±1.01 ^d

ตัวอักษรที่ต่างกันในกลุ่มเดียวกันมีความแตกต่างอย่างมีนัยสำคัญทางสถิติ ($p < 0.05$)

* ค่าเฉลี่ย ± ค่าเบี่ยงเบนมาตรฐานจากการทดลอง 3 ซ้ำ * Mean ± standard deviation (n=3)

Different letters in the same column indicate the significant differences ($p < 0.05$)

3. การศึกษาผลของไคโตแซนต่อสมบัติการเกิดอิมัลชัน

การทำหน้าที่ของไคโตแซนในผลิตภัณฑ์อิมัลชันขึ้นอยู่กับสมบัติทางเคมีและ ภาย ภาพของไคโตแซน อาทิเช่น ระดับการกำจัดหมู่อะซิทิล น้ำหนักโมเลกุล รวมทั้งปริมาณของ ไค โตแซนที่ใช้ในการเตรียมอิมัลชัน ในการทดลองนี้ได้นำไคโตแซนซึ่งมีระดับการกำจัดหมู่ อะซิ ทิล และน้ำหนักโมเลกุลต่างกัน มาศึกษาผลของไคโตแซนต่อสมบัติการเกิดอิมัลชัน ประกอบด้วย ความหนืด ความสามารถในการเกิดอิมัลชัน ความคงตัวของอิมัลชัน ขนาดอนุภาคและการกระจาย ตัวของเม็ดไขมัน ได้ผลดังนี้

3.1 ผลของปริมาณไคโตแซนต่อสมบัติการเกิดอิมัลชัน

ในการเตรียมอิมัลชัน จำเป็นต้องศึกษาถึงปริมาณไคโตแซนที่ใช้ เพื่อให้มีปริมาณ เพียงพอในการทำหน้าที่เป็นตัวทำอิมัลชัน ซึ่งจะส่งผลให้อิมัลชันเกิดความคงตัว ในการทดลองนี้ ได้ศึกษาผลของปริมาณไคโตแซนต่อสมบัติการเกิดอิมัลชัน ประกอบด้วย ความหนืด ความสามารถ ในการเกิดอิมัลชันและความคงตัวของอิมัลชัน เพื่อคัดเลือกปริมาณไคโตแซนที่เหมาะสมในการ เตรียมอิมัลชัน ได้ผลดังนี้

3.1.1 ความหนืดของอิมัลชัน (emulsion viscosity)

เมื่อนำไคโตแซนตัวอย่างที่ 3 จากตารางที่ 9 ซึ่งมีระดับการกำจัดหมู่อะซิทิลร้อยละ 75-80 น้ำหนักโมเลกุลสูง (1100-1500 กิโลดาลตัน) มาเป็นตัวแทนในการศึกษาผลของปริมาณ ไคโตแซนต่อสมบัติการเกิดอิมัลชัน โดยเตรียมสารละลายไคโตแซนที่ระดับความเข้มข้นต่างกันคือ ร้อยละ 0.5 1.0 1.5 และ 2.0 ในสารละลายกรดอะซิติกเข้มข้นร้อยละ 1.0 นำสารละลายไคโตแซน ดังกล่าวมาเตรียมอิมัลชัน ที่อัตราส่วนระหว่างสารละลายไคโตแซนต่อน้ำมันพืชแตกต่างกันคือ 9:1 8:2 7:3 และ 6:4 (น้ำหนักต่อน้ำหนัก) พบว่าเมื่อระดับความเข้มข้นของไคโตแซนเพิ่มขึ้น ความ หนืดของอิมัลชันมีค่าเพิ่มขึ้นอย่างมีนัยสำคัญทางสถิติ ($p < 0.05$) (ตารางภาคผนวกที่ 9) (ตารางที่ 13) เนื่องจากที่ระดับความเข้มข้นสูง มีปริมาณไคโตแซนละลายอยู่ในสารละลายมาก ทำให้เกิดพันธะ และการประสานตัวระหว่างโมเลกุลหรืออนุภาคจำนวนมาก ส่งผลให้ความหนืดของอิมัลชันมีค่า เพิ่มขึ้น (Rodriguez *et al.*, 2000; Hosokawa *et al.*, 1990) นอกจากนี้พบว่าความหนืดของตัวทำ กระจาย (continuous phase) ในการทดลองนี้คือสารละลายไคโตแซน เป็นปัจจัยสำคัญที่ส่งผลต่อ ความหนืดของอิมัลชัน ซึ่งสอดคล้องกับการทดลองอื่นที่พบว่าเมื่อความหนืดของสารละลาย ไคโตแซนมีค่าเพิ่มขึ้น ส่งผลให้ความหนืดของอิมัลชันมีค่าเพิ่มขึ้น (Rodriguez *et al.*, 2002; Del *et al.*, 1999)

ในการทดลองครั้งนี้ยังพบว่าเมื่อสัดส่วนของน้ำมันในอิมัลชันมากขึ้น ส่งผลให้ ความหนืดของอิมัลชันมีค่าเพิ่มขึ้นอย่างมีนัยสำคัญทางสถิติ ($p < 0.05$) (ตารางที่ 13) เนื่องจากความ

หนืดของอิมัลชันเกิดจากความหนืดของสารละลายไคโตแซนร่วมกับความหนืดของน้ำมันพืช โดยน้ำมันพืชที่ศึกษามีค่าความหนืดประมาณ 95-100 เซนติพอยด์ ดังนั้นการที่อัตราส่วนของสารละลายไคโตแซนลดลงในขณะที่มีปริมาณน้ำมันเพิ่มขึ้น ส่งผลให้อิมัลชันมีค่าความหนืดเพิ่มขึ้น

ตารางที่ 13 ความหนืดของอิมัลชันที่เตรียมจากความเข้มข้นของไคโตแซนและอัตราส่วนระหว่างสารละลายไคโตแซนต่อน้ำมันพืชแตกต่างกัน

Table 13. Emulsion viscosity from different chitosan concentration and ratio of chitosan solution to vegetable oil

Chitosan concentration (%)	Viscosity (cps)*			
	chitosan solution : vegetable oil			
	9:1	8:2	7:3	6:4
0.5	29.28±0.75 ^{dD}	38.06±0.10 ^{dC}	62.89±0.25 ^{dB}	118.50±0.50 ^{dA}
1.0	41.33±0.73 ^{CD}	43.39±0.10 ^{cC}	78.72±0.25 ^{CB}	127.56±0.25 ^{CA}
1.5	191.39±0.49 ^{bD}	213.22±0.25 ^{bC}	287.28±0.25 ^{bB}	428.39±0.19 ^{bA}
2.0	227.94±0.79 ^{aD}	306.00±0.29 ^{aC}	325.94±0.10 ^{aB}	542.06±0.92 ^{aA}

อักษรตัวพิมพ์เล็กที่ต่างกันในกลุ่มเดียวกันมีความแตกต่างอย่างมีนัยสำคัญทางสถิติ ($p < 0.05$)

อักษรตัวพิมพ์ใหญ่ที่ต่างกันในกลุ่มเดียวกันมีความแตกต่างอย่างมีนัยสำคัญทางสถิติ ($p < 0.05$)

* ค่าเฉลี่ย ± ค่าเบี่ยงเบนมาตรฐานจากการทดลอง 3 ซ้ำ * Mean ± standard deviation (n=3)

Different small letters in the same column indicate the significant differences ($p < 0.05$)

Different capital letters in the same row indicate the significant differences ($p < 0.05$)

3.1.2 ความสามารถในการเกิดอิมัลชันและความคงตัวของอิมัลชัน

(emulsion activity and emulsion stability)

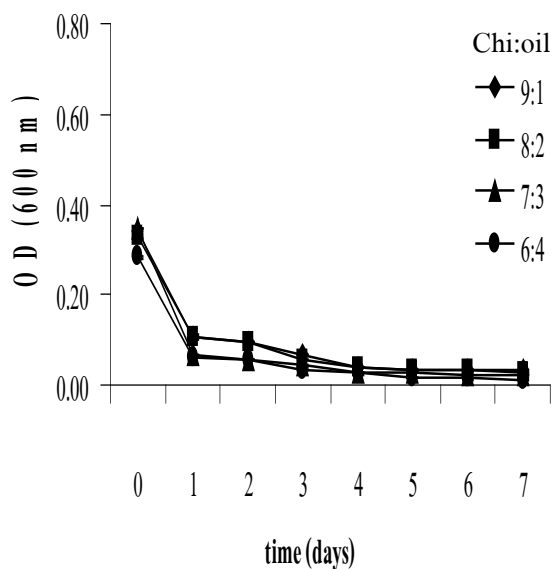
เมื่อนำตัวอย่างอิมัลชันซึ่งเตรียมจากสารละลายไคโตแซนที่มีระดับความเข้มข้นต่างกัน รวมทั้งมีอัตราส่วนระหว่างสารละลายไคโตแซนต่อน้ำมันพืชแตกต่างกัน ไปวิเคราะห์หาค่าความสามารถในการเกิดอิมัลชัน (emulsion activity) และความคงตัวของอิมัลชัน (emulsion stability) โดยศึกษาการเปลี่ยนแปลงความขุ่น (turbidity) ของอิมัลชัน จากค่าการดูดกลืนแสงที่ความยาวคลื่น 600 นาโนเมตร ทั้งนี้ค่าความสามารถในการเกิดอิมัลชัน ได้จากค่าการดูดกลืนแสงของอิมัลชันที่เตรียมได้ภายใน 5 นาที ส่วนความคงตัวของอิมัลชันได้จากการเปลี่ยนแปลงของค่าการดูดกลืนแสง

ที่วัดทุกๆวัน เป็นเวลา 7 วัน ความขุ่นที่เกิดขึ้นบ่งบอกถึงขนาดอนุภาคของเม็ดไขมัน โดยที่ความขุ่นสูงหมายถึงขนาดอนุภาคของเม็ดไขมันมีขนาดเล็กและอิมัลชันมีความคงตัวดี (Ogawa *et al.*, 2003) จากการทดลองพบว่าเมื่อความเข้มข้นของโคโคแซนเพิ่มขึ้นส่งผลให้ค่าความขุ่นมีค่าเพิ่มขึ้นอย่างมีนัยสำคัญทางสถิติ ($p < 0.05$) (ตารางภาคผนวกที่ 10) (ภาพที่ 6) เนื่องจากที่ระดับความเข้มข้นสูงมีปริมาณโคโคแซนอยู่ในตัวอย่างอิมัลชันมาก ทำให้เกิดพันธะและการประสานตัวระหว่างโมเลกุลหรืออนุภาคจำนวนมาก จึงช่วยลดการรวมตัวของอนุภาคเม็ดไขมัน ส่งผลให้มีความสามารถในการเกิดอิมัลชันและมีความคงตัวของอิมัลชันสูงขึ้น (Ogawa *et al.*, 2003; Rodriguez *et al.*, 2000; Hosokawa *et al.*, 1990)

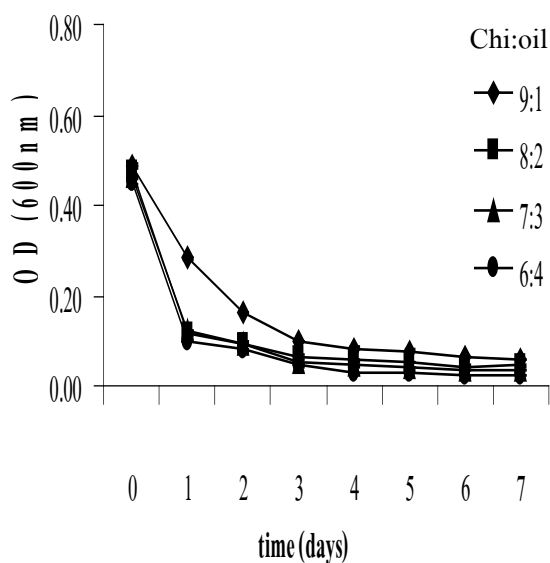
ในการทดลองนี้ยังพบว่าเมื่อสัดส่วนของสารละลายโคโคแซนในอิมัลชันมากขึ้นส่งผลให้ค่าความขุ่นของอิมัลชันมีค่าเพิ่มขึ้นอย่างมีนัยสำคัญทางสถิติ ($p < 0.05$) (ตารางภาคผนวกที่ 10) (ภาพที่ 6) เนื่องจากมีปริมาณโคโคแซนที่มากเพียงพอในการทำหน้าที่เป็นตัวทำอิมัลชัน โดยโคโคแซนจะเคลือบอยู่ที่ผิวของเม็ดไขมัน และมีประจุบวกอยู่โดยรอบ ซึ่งประจุบวกดังกล่าวเกิดแรงผลักระหว่างอนุภาคที่มีประจุเหมือนกัน (electrical repulsion) ส่งผลให้อนุภาคเม็ดไขมันไม่มารวมตัวกัน ดังนั้นจึงมีความสามารถในการเกิดอิมัลชันสูง และรักษาความคงตัวของระบบอิมัลชันไว้ได้ (Thanasukarn *et al.*, 2006, Mun *et al.*, 2006; Rodriguez *et al.*, 2002; McClements, 1999)

นอกจากนี้พบว่าเมื่อระยะเวลาในการเก็บรักษาอิมัลชันเพิ่มขึ้นส่งผลให้ค่าความขุ่นของอิมัลชันที่เตรียมจากความเข้มข้นของโคโคแซนต่างกันมีค่าลดลงอย่างมีนัยสำคัญทางสถิติ ($p < 0.05$) (ตารางภาคผนวกที่ 10) (ภาพที่ 6) เนื่องจากอนุภาคเม็ดไขมันในตัวอย่างอิมัลชันเกิดการเคลื่อนที่เข้ามาจับตัวกันเป็นเม็ดไขมันที่มีขนาดใหญ่ขึ้น (coalescence) และมีเม็ดไขมันบางส่วนลอยขึ้นสู่ผิวหน้า (creaming) ของตัวอย่างอิมัลชัน ทำให้ความคงตัวของอิมัลชันมีค่าลดลง (Ogawa *et al.*, 2003; McClements, 1999) โดยอิมัลชันจากสารละลายโคโคแซนเข้มข้นร้อยละ 1.5 และ 2.0 ที่อัตราส่วนระหว่างสารละลายโคโคแซนต่อน้ำมันพืช 9:1 มีค่าความขุ่นลดลงต่ำกว่าตัวอย่างอิมัลชันอื่น (ภาพที่ 6c, 6d) แสดงให้เห็นว่าอิมัลชันดังกล่าวมีปริมาณที่มากเกินไปที่จะเคลือบอยู่ที่ผิวของอนุภาคเม็ดไขมันโดยรอบ สามารถช่วยลดการรวมตัวของอนุภาคเม็ดไขมัน ส่งผลให้มีความคงตัวของอิมัลชันสูงขึ้น (Ogawa *et al.*, 2003; Rodriguez *et al.*, 2000; Hosokawa *et al.*, 1990)

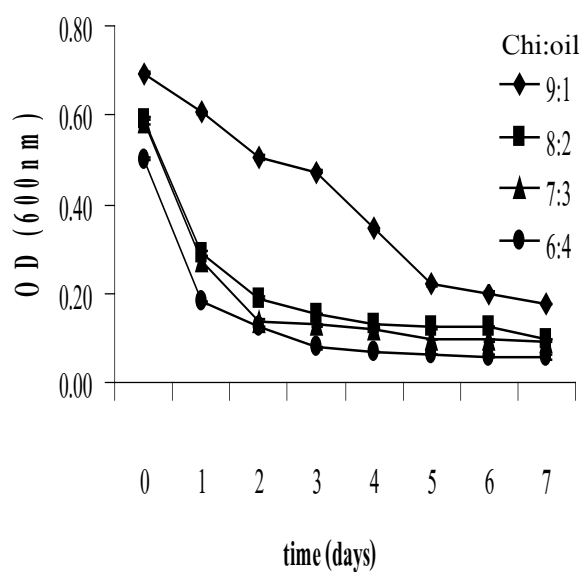
จากผลการทดลองสามารถสรุปได้ว่าอิมัลชันที่ใช้สารละลายโคโคแซนเข้มข้นร้อยละ 1.5 และ 2.0 ที่อัตราส่วนระหว่างสารละลายโคโคแซนต่อน้ำมันพืช 9:1 มีความสามารถในการเกิดอิมัลชันและมีความคงตัวของอิมัลชันมากที่สุด ภายหลังจากเก็บรักษาอิมัลชันที่อุณหภูมิห้องเป็นระยะเวลา 7 วัน (ภาพที่ 6c, 6d) จึงนำสภาวะที่คัดเลือกได้ไปใช้ในการเตรียมอิมัลชันในการทดลองขั้นต่อไป



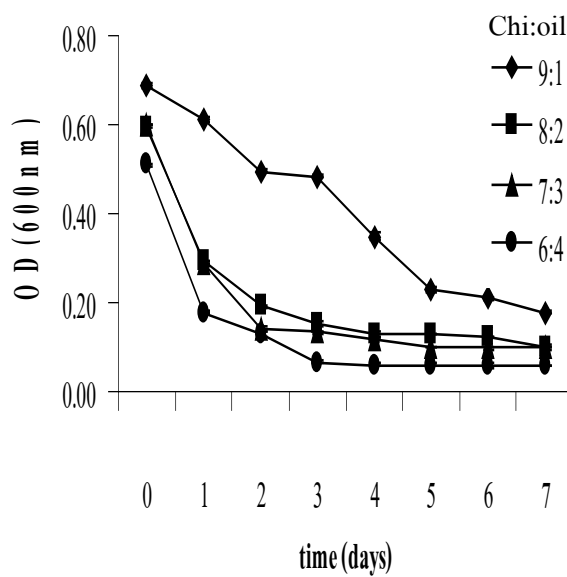
(a) 0.5 % chitosan concentration



(b) 1.0 % chitosan concentration



(c) 1.5 % chitosan concentration



(d) 2.0% chitosan concentration

ภาพที่ 6 ผลของความเข้มข้นของไคโตแซน และอัตราส่วนระหว่างสารละลายไคโตแซนต่อน้ำมันพืช ต่อความสามารถในการเกิดอิมัลชันและความคงตัวของอิมัลชัน

Figure 6. Effect of chitosan concentration and ratio of chitosan solution (chi) with vegetable oil (oil) on emulsion activity and emulsion stability

3.2 ผลของระดับการกำจัดหมู่อะซิทิลและน้ำหนักโมเลกุลของโคโคแซนต่อสมบัติการเกิดอิมัลชัน

ระดับการกำจัดหมู่อะซิทิล และน้ำหนักโมเลกุลของโคโคแซนสามารถบ่งบอกถึงคุณสมบัติในการทำหน้าที่ของโคโคแซนในหลายด้าน รวมทั้งหน้าที่ในการเป็นตัวทำอิมัลชันของโคโคแซน การศึกษาผลของระดับการกำจัดหมู่อะซิทิล และน้ำหนักโมเลกุลของโคโคแซนทั้ง 9 ชนิด จากตารางที่ 9 ต่อสมบัติการเกิดอิมัลชัน โดยทำการวิเคราะห์สมบัติการเกิดอิมัลชัน ประกอบด้วยความหนืด ความสามารถในการเกิดอิมัลชัน ความคงตัวของอิมัลชัน ขนาดอนุภาคและการกระจายตัวของเม็ดไขมัน ได้ผลดังนี้

3.2.1 ความหนืดของอิมัลชัน (emulsion viscosity)

นำโคโคแซนทั้ง 9 ชนิด (ตารางที่ 9) ซึ่งมีระดับการกำจัดหมู่อะซิทิลและน้ำหนักโมเลกุลแตกต่างกัน มาเตรียมอิมัลชันภายใต้สภาวะที่ผ่านการคัดเลือกจากข้อ 3.1 คือสารละลายโคโคแซนที่ระดับความเข้มข้นร้อยละ 1.5 และ 2.0 โดยมีอัตราส่วนระหว่างสารละลายโคโคแซนต่อน้ำมันพืช 9:1 ทำการเก็บรักษาอิมัลชันที่อุณหภูมิห้อง (25-28 องศาเซลเซียส) เป็นระยะเวลา 24 ชั่วโมง แล้ววัดค่าความหนืดของอิมัลชัน พบว่าเมื่อระดับการกำจัดหมู่อะซิทิลเพิ่มขึ้น น้ำหนักโมเลกุลลดลง ส่งผลให้ความหนืดของอิมัลชันมีค่าลดลงอย่างมีนัยสำคัญทางสถิติ ($p < 0.05$) (ตารางภาคผนวกที่ 11) (ตารางที่ 14) ทั้งนี้อาจเนื่องจากในกระบวนการผลิตโคโคแซนที่มีระดับการกำจัดหมู่อะซิทิลสูง ต้องใช้ความเข้มข้นต่ำ และระยะเวลาในการกำจัดหมู่อะซิทิลเพิ่มขึ้น ส่งผลให้สมบัติของโคโคแซนเปลี่ยนแปลงไป โดยโคโคแซนที่มีระดับการกำจัดหมู่อะซิทิลสูงมักเป็นกลุ่มที่มีน้ำหนักโมเลกุลต่ำ มีโครงสร้างเป็นพอลิเมอร์ขนาดเล็ก เมื่อละลายในสารละลายกรด ทำให้เกิดพันธะ และเกิดการประสานตัวระหว่างโมเลกุลหรืออนุภาคขนาดใหญ่ ส่งผลให้ความหนืดของอิมัลชันมีค่าเพิ่มขึ้น ความหนืดของอิมัลชันจึงมีค่าลดลง (ภาวดี เมธะกานนท์ และคณะ, 2542; Rodriguez *et al.*, 2002; No *et al.*, 2000; Hosokawa *et al.*, 1990; Bough *et al.*, 1978; Wu and Bough, 1978; Muzzarelli, 1977) ซึ่งสอดคล้องกับผลการทดลองอื่นที่พบว่าอิมัลชันซึ่งเตรียมจากโคโคแซนที่มีระดับการกำจัดหมู่อะซิทิลสูง (ร้อยละ 95) มีความหนืดของอิมัลชันน้อยกว่าที่ระดับการกำจัดหมู่ อะซิทิลต่ำ (ร้อยละ 75) (Rodriguez *et al.*, 2002)

นอกจากนี้ยังพบว่าเมื่อระดับความเข้มข้นของโคโคแซนเพิ่มขึ้น ความหนืดของอิมัลชันมีค่าเพิ่มขึ้นอย่างมีนัยสำคัญทางสถิติ ($p < 0.05$) (ตารางภาคผนวกที่ 11) (ตารางที่ 14) เนื่องจากที่ระดับความเข้มข้นสูง มีปริมาณโคโคแซนละลายอยู่ในสารละลายมาก ทำให้เกิดพันธะและการประสานตัวระหว่างโมเลกุลหรืออนุภาคจำนวนมาก ส่งผลให้ความหนืดของอิมัลชันมีค่าเพิ่มขึ้น (Rodriguez *et al.*, 2000; Hosokawa *et al.*, 1990) และยังพบว่าความหนืดของตัวทำกระจาย

(continuous phase) ในการทดลองนี้คือสารละลายไคโตแซน เป็นปัจจัยสำคัญที่ส่งผลต่อความหนืดของอิมัลชัน ซึ่งสอดคล้องกับการทดลองอื่นที่พบว่าเมื่อความหนืดของสารละลายไคโตแซนมีค่าเพิ่มขึ้น ส่งผลให้ความหนืดของอิมัลชันมีค่าเพิ่มขึ้น (Rodeiguez *et al.*, 2002; Del *et al.*, 1999)

ตารางที่ 14 ความหนืดของอิมัลชันที่เตรียมจากไคโตแซนที่มีระดับการกำจัดหมู่อะซิทิลและน้ำหนักโมเลกุลแตกต่างกัน

Table 14. Emulsion viscosity from chitosan with different degree of deacetylation and molecular weight

Degree of deacetylation (%) (actual value)	Molecular weight (kDa) (actual value)	Viscosity (cps)*	
		1.5% Chitosan solution	2.0% Chitosan solution
75-80 (79.96)	100-500 (419.22)	77.11±0.10 ^{gB}	134.06±0.82 ^{fA}
75-80 (78.63)	600-1000 (943.54)	107.33±0.88 ^{dB}	180.78±2.01 ^{dA}
75-80 (78.55)	1100-1500 (1326.74)	192.67±1.45 ^{aB}	227.83±0.50 ^{aA}
81-85 (84.87)	100-500 (213.32)	74.89±1.68 ^{hB}	130.72±1.40 ^{gA}
81-85 (83.92)	600-1000 (768.48)	103.89±0.79 ^{eB}	179.06±1.29 ^{dA}
81-85 (83.41)	1100-1500 (1208.34)	190.94±0.92 ^{bB}	222.61±1.67 ^{bA}
86-90 (87.12)	100-500 (219.57)	70.00±0.44 ^{iB}	126.94±0.54 ^{hA}
86-90 (87.04)	600-1000 (672.96)	96.83±0.50 ^{fB}	174.72±0.25 ^{eA}
86-90 (86.98)	1100-1500 (1230.31)	185.00±0.83 ^{cB}	216.61±1.78 ^{cA}

อักษรตัวพิมพ์เล็กที่ต่างกันในกลุ่มเดียวกันมีความแตกต่างอย่างมีนัยสำคัญทางสถิติ ($p < 0.05$)

อักษรตัวพิมพ์ใหญ่ที่ต่างกันในกลุ่มเดียวกันมีความแตกต่างอย่างมีนัยสำคัญทางสถิติ ($p < 0.05$)

* ค่าเฉลี่ย ± ค่าเบี่ยงเบนมาตรฐานจากการทดลอง 3 ซ้ำ * Mean ± standard deviation (n=3)

Different small letters in the same column indicate the significant differences ($p < 0.05$)

Different capital letters in the same row indicate the significant differences ($p < 0.05$)

3.2.2 ความสามารถในการเกิดอิมัลชันและความคงตัวของอิมัลชัน

(emulsion activity and emulsion stability)

นำอิมัลชันซึ่งเตรียมจากไคโตแซนทั้ง 9 ชนิด (ตารางที่ 9) ซึ่งมีระดับการกำจัดหมู่อะซิทิลและน้ำหนักโมเลกุลแตกต่างกัน มาวิเคราะห์ความสามารถในการเกิดอิมัลชันและความคงตัวของอิมัลชันตามวิธีในข้อ 3.1.2 พบว่าเมื่อระดับการกำจัดหมู่อะซิทิลเพิ่มขึ้น น้ำหนักโมเลกุลลด

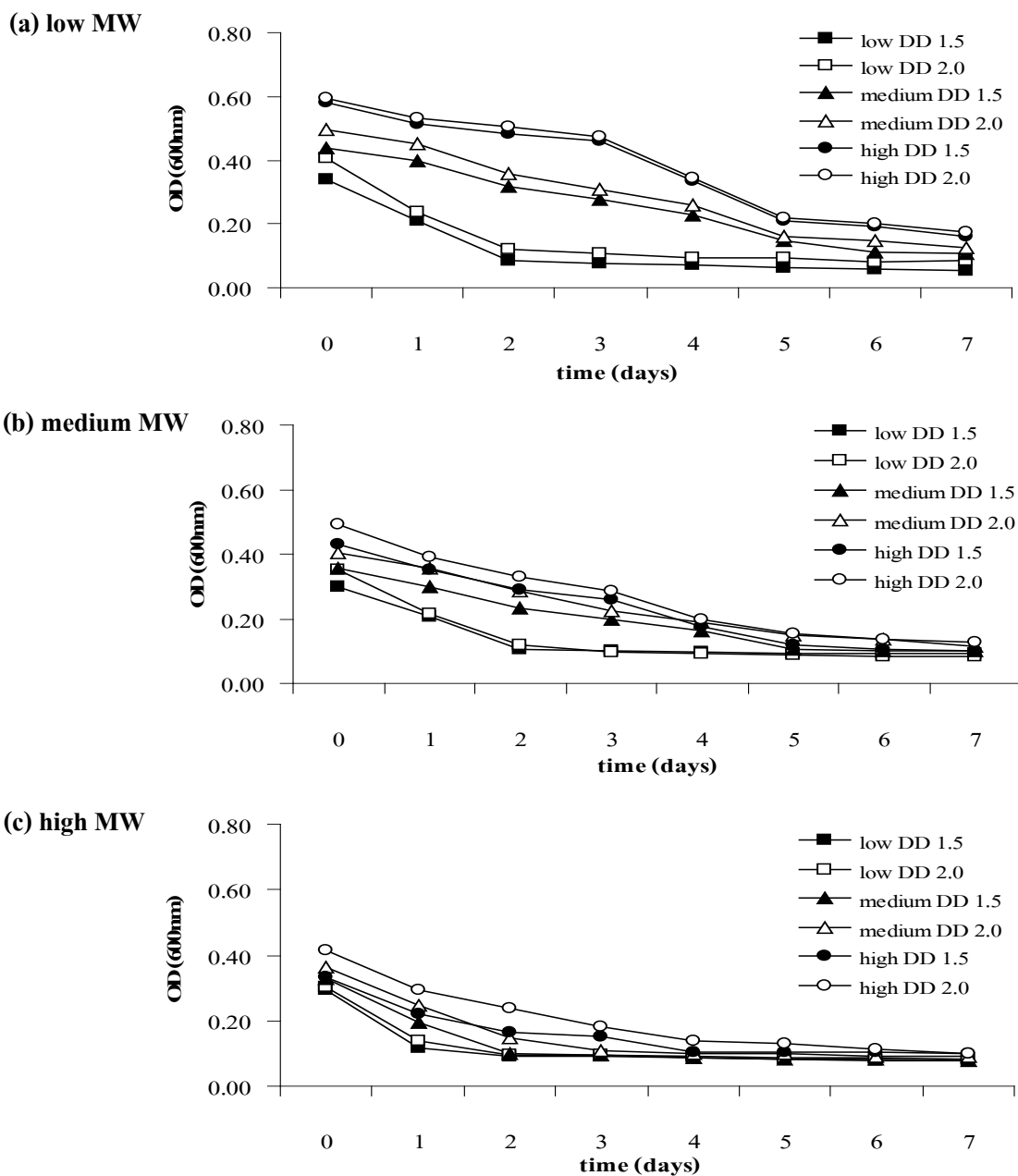
ลง ส่งผลให้ความขุ่นของอิมัลชันเพิ่มขึ้นอย่างมีนัยสำคัญทางสถิติ ($p < 0.05$) (ตารางภาคผนวกที่ 12) (ภาพที่ 7) เนื่องจากไคโตแซนที่มีระดับการกำจัดหมู่อะซิทธิลสูง มีหมู่อะมิโนอิสระ (NH_2) ซึ่งมีประจุบวกอยู่ในโครงสร้างโมเลกุลจำนวนมาก (Kurita, 1993; Muzzarelli, 1977) โดยประจุบวกเหล่านั้นจะเคลือบอยู่ที่ผิวของเม็ดไขมัน และเกิดแรงผลักระหว่างอนุภาคที่มีประจุเหมือนกัน (electrical repulsion) ส่งผลให้อนุภาคเม็ดไขมันไม่เข้ามารวมตัวกัน (Mun *et al.*, 2006; Thanasukarn *et al.*, 2006; Rodriguez *et al.*, 2002; McClements, 1999) ซึ่งสอดคล้องกับการทดลองอื่นที่พบว่าอิมัลชันจากไคโตแซนที่ระดับการกำจัดหมู่อะซิทธิลสูง (ร้อยละ 77 และ 90) มีประจุบวกที่ผิวสัมผัสของอนุภาคเม็ดไขมันมากกว่าอิมัลชันที่เตรียมจากไคโตแซนที่ระดับการกำจัดหมู่อะซิทธิลต่ำ (ร้อยละ 40) (Mun *et al.*, 2006) กล่าวได้ว่าอิมัลชันจากไคโตแซนที่ระดับการกำจัดหมู่อะซิทธิลสูง มีความสามารถในการเกิดอิมัลชันและมีความคงตัวสูง

นอกจากนี้อาจเนื่องจากในกระบวนการผลิตไคโตแซนที่มีน้ำหนักโมเลกุลต่ำ ต้องใช้กรดในการไฮโดรไลส์ ทำให้โครงสร้างของไคโตแซนอาจถูกตัดที่พันธะ β -glycosidic กลายเป็นพอลิเมอร์ขนาดเล็กลง พร้อมทั้งส่งผลให้มีระดับการกำจัดหมู่อะซิทธิลสูงขึ้น จึงมีหมู่อะมิโนอิสระ (NH_2) ซึ่งเป็นประจุบวกอยู่ในโครงสร้างโมเลกุลจำนวนมาก (ภาวดี เมธะกานนท์ และคณะ, 2542; Winterowd and Sandford, 1995; Kurita, 1993; Muzzarelli, 1977) โดยประจุบวกเหล่านั้นจะเคลือบอยู่ที่ผิวของเม็ดไขมัน และเกิดแรงผลักระหว่างอนุภาคที่มีประจุเหมือนกัน (electrical repulsion) ส่งผลให้อนุภาคเม็ดไขมันไม่เข้ามารวมตัวกัน (Mun *et al.*, 2006; Thanasukarn *et al.*, 2006; Rodriguez *et al.*, 2002; McClements, 1999) ซึ่งสอดคล้องกับการทดลองอื่นที่พบว่าอิมัลชันที่เตรียมจากไคโตแซนที่มีน้ำหนักโมเลกุลต่ำมีประจุบวกที่ผิวสัมผัสของอนุภาคเม็ดไขมันประมาณ +56.9 มิลลิโวล ซึ่งมีค่ามากกว่าที่น้ำหนักโมเลกุลปานกลาง (+50.7 มิลลิโวล) และที่น้ำหนักโมเลกุลสูง (+50.4 มิลลิโวล) ตามลำดับ (Mun *et al.*, 2006) กล่าวได้ว่าอิมัลชันที่เตรียมจากไคโตแซนที่มีน้ำหนักโมเลกุลต่ำ มีความสามารถในการเกิดอิมัลชันและมีความคงตัวสูง

ในการทดลองนี้ยังพบว่า เมื่อความเข้มข้นของไคโตแซนเพิ่มขึ้นจากร้อยละ 1.5 เป็น 2.0 มีความขุ่นของอิมัลชันเพิ่มขึ้นอย่างมีนัยสำคัญทางสถิติ ($p < 0.05$) (ตารางภาคผนวกที่ 12) (ภาพที่ 7) เนื่องจากที่ระดับความเข้มข้นสูงมีปริมาณไคโตแซนอยู่ในตัวอย่างอิมัลชันมาก ทำให้เกิดพันธะและการประสานตัวระหว่างโมเลกุลหรืออนุภาคจำนวนมาก จึงช่วยลดการรวมตัวของอนุภาคเม็ดไขมัน ส่งผลให้อิมัลชันมีความสามารถในการเกิดอิมัลชันและมีความคงตัวสูงขึ้น (Ogawa *et al.*, 2003; Rodriguez *et al.*, 2000; Hosokawa *et al.*, 1990)

จากผลการทดลองสามารถสรุปได้ว่าอิมัลชันจากไคโตแซนที่ระดับการกำจัดหมู่อะซิทธิลสูง (ร้อยละ 86-90) มีน้ำหนักโมเลกุลต่ำ (100-500 กิโลดาลตัน) และระดับความเข้มข้นของ

ไคโตแซนร้อยละ 2.0 มีความสามารถในการเกิดอิมัลชันและมีความคงตัวของอิมัลชันมากที่สุด นำอิมัลชันดังกล่าวมาใช้ในการวิเคราะห์หั่นขนาดอนุภาคและการกระจายตัวของเม็ดไขมันในข้อ 3.2.3 ต่อไป



ภาพที่ 7 ผลของระดับการกำจัดหมู่อะซิทิล (DD) และน้ำหนักโมเลกุล (MW) ของไคโตแซนต่อความสามารถในการเกิดอิมัลชันและความคงตัวของอิมัลชัน

Figure 7. Effect of degree of deacetylation (DD) and molecular weight (MW) of chitosan on emulsion activity and emulsion stability

3.2.3 ขนาดอนุภาคและการกระจายตัวของเม็ดไขมันในตัวอย่างอิมัลชัน

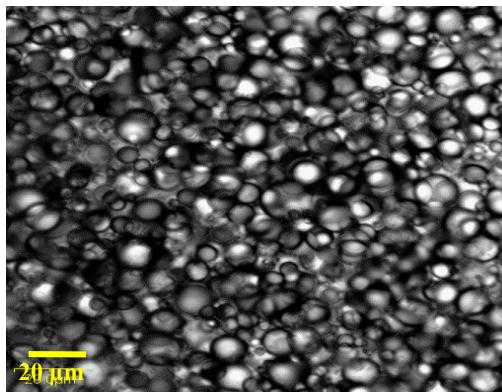
(Droplet size and droplet distribution in emulsion)

การศึกษขนาดอนุภาคและการกระจายตัวของเม็ดไขมันในตัวอย่างอิมัลชันที่มีความคงตัวของอิมัลชันสูงที่สุด ซึ่งผ่านการคัดเลือกจากข้อ 3.2.2 โดยอิมัลชันดังกล่าวผลิตจากไคโตแซนที่มีระดับการกำจัดหมู่อะซิทิลสูง (ร้อยละ 86-90) มีน้ำหนักโมเลกุลต่ำ (100-500 กิโลดาลตัน) และมีระดับความเข้มข้นของไคโตแซนร้อยละ 2.0 จากการทดลองพบว่าอิมัลชันมีขนาดของอนุภาคเม็ดไขมันอยู่ในช่วง 8-10 ไมโครเมตร จัดได้ว่าอิมัลชันที่ผลิตได้มีขนาดอนุภาคของเม็ดไขมันขนาดเล็กเมื่อเปรียบเทียบกับผลการทดลองอื่นที่มีขนาดอนุภาคของเม็ดไขมันอยู่ในช่วง 14 ถึง 120 ไมโครเมตร (Del *et al.*, 1999) นอกจากนี้พบว่าตัวอย่างอิมัลชันมีการกระจายตัวของเม็ดไขมันอย่างสม่ำเสมอ (ภาพที่ 8) ซึ่งสอดคล้องกับการทดลองอื่นที่พบว่าอิมัลชันซึ่งเตรียมจากไคโตแซนที่มีระดับการกำจัดหมู่อะซิทิลสูง (ร้อยละ 89 และ 95) มีลักษณะการกระจายตัวของอนุภาคเม็ดไขมันสม่ำเสมอ ในขณะที่อิมัลชันที่เตรียมจากไคโตแซนที่มีระดับการกำจัดหมู่อะซิทิลต่ำ (ร้อยละ 75) มีการกระจายตัวของอนุภาคเม็ดไขมันไม่สม่ำเสมอ และมีขนาดอนุภาคเม็ดไขมันขนาดใหญ่ เนื่องจากเกิดการเคลื่อนที่เข้ามาจับตัวกัน (coalescence) ทำให้อิมัลชันไม่คงตัว (Rodriguez *et al.*, 2002; Del *et al.*, 1999; McClements, 1999)

นอกจากนี้ยังมีผลการทดลองอื่นที่พบว่าอิมัลชันจากไคโตแซนที่มีน้ำหนักโมเลกุลต่ำ มีขนาดอนุภาคเม็ดไขมันขนาดเล็ก ในขณะที่อิมัลชันที่เตรียมจากไคโตแซนที่มีน้ำหนักโมเลกุลสูง มีขนาดอนุภาคเม็ดไขมันขนาดใหญ่ (Mun *et al.*, 2006) เนื่องจากไคโตแซนที่มีน้ำหนักโมเลกุลต่ำ มีโครงสร้างเป็นพอลิเมอร์ขนาดเล็ก มีหมู่เอมิโนอิสระ (NH_2) ที่มีประจุบวกอยู่ในโครงสร้างโมเลกุลจำนวนมาก (ภาวดี เมระคานนท์ และคณะ, 2542; Winterowd and Sandford, 1995; Kurita, 1993; Muzzarelli, 1977) โดยประจุบวกเหล่านี้จะเคลือบอยู่ที่ผิวของเม็ดไขมัน และเกิดแรงผลักระหว่างอนุภาคที่มีประจุเหมือนกัน (electrical repulsion) ส่งผลให้อนุภาคเม็ดไขมันไม่เข้ามารวมตัวกัน ดังนั้นอนุภาคของเม็ดไขมันที่ได้จึงมีขนาดเล็ก (Mun *et al.*, 2006; Thanasukarn *et al.*, 2006; Rodriguez *et al.*, 2002; Del *et al.*, 1999; McClements, 1999)

จากการทดลองนี้แสดงให้เห็นว่าอิมัลชันที่เตรียมจากไคโตแซนที่มีระดับการกำจัดหมู่อะซิทิลสูง (ร้อยละ 86-90) มีน้ำหนักโมเลกุลต่ำ (100-500 กิโลดาลตัน) และสารละลายไคโตแซนมีความเข้มข้นสูง (ร้อยละ 2.0) มีอนุภาคเม็ดไขมันขนาดเล็ก และมีการกระจายตัวของเม็ดไขมันอย่างสม่ำเสมอ ซึ่งเป็นลักษณะที่ดีของอิมัลชัน ประกอบกับผลการทดลองที่ผ่านมาพบว่าอิมัลชันที่เตรียมจากไคโตแซนดังกล่าวมีความคงตัวของอิมัลชันสูงที่สุด ดังนั้นจึงนำไคโตแซนดัง

กล่าวไปใช้ในการศึกษาผลของการประยุกต์ใช้โคโตนแทนแทนไขแดงในการผลิตผลิตภัณฑ์น้ำสลัดในการทดลองข้อ 4 ต่อไป



ภาพที่ 8 ขนาดอนุภาคและการกระจายตัวของเม็ดไขมันในตัวอย่างอิมัลชัน

Figure 8. Droplet size and droplet distribution of emulsion

4. การประยุกต์ใช้โคโตนแทนแทนไขแดงในการผลิตผลิตภัณฑ์น้ำสลัด

นำโคโตนที่ผ่านการคัดเลือกจากข้อ 3.2.2 ซึ่งเป็นชุดการทดลองที่มีความคงตัวของอิมัลชันสูงสุด มาศึกษาผลของการประยุกต์ใช้โคโตนแทนแทนไขแดงในการผลิตผลิตภัณฑ์น้ำสลัด โดยใช้โคโตนที่มีระดับการกำจัดหมู่อะซิทธิลร้อยละ 86-90 มีน้ำหนักโมเลกุล 100-500 กิโลดาลตัน และความเข้มข้นของสารละลายโคโตนร้อยละ 2.0 ในการเตรียมผลิตภัณฑ์น้ำสลัด โดยมีอัตราส่วนของตัวทำอิมัลชัน (ไขแดง และสารละลายโคโตน) ที่ผสมในน้ำสลัดแตกต่างกัน 3 สูตร คือ สูตรที่ 1 (ไขแดงร้อยละ 10) สูตรที่ 2 (ไขแดงร้อยละ 5 และสารละลายโคโตนร้อยละ 0.5) สูตรที่ 3 (สารละลายโคโตนร้อยละ 1.0) เก็บรักษาน้ำสลัดที่อุณหภูมิห้องเป็นระยะเวลา 24 ชั่วโมง ก่อนการวิเคราะห์สมบัติของน้ำสลัด ได้ผลการทดลองดังนี้

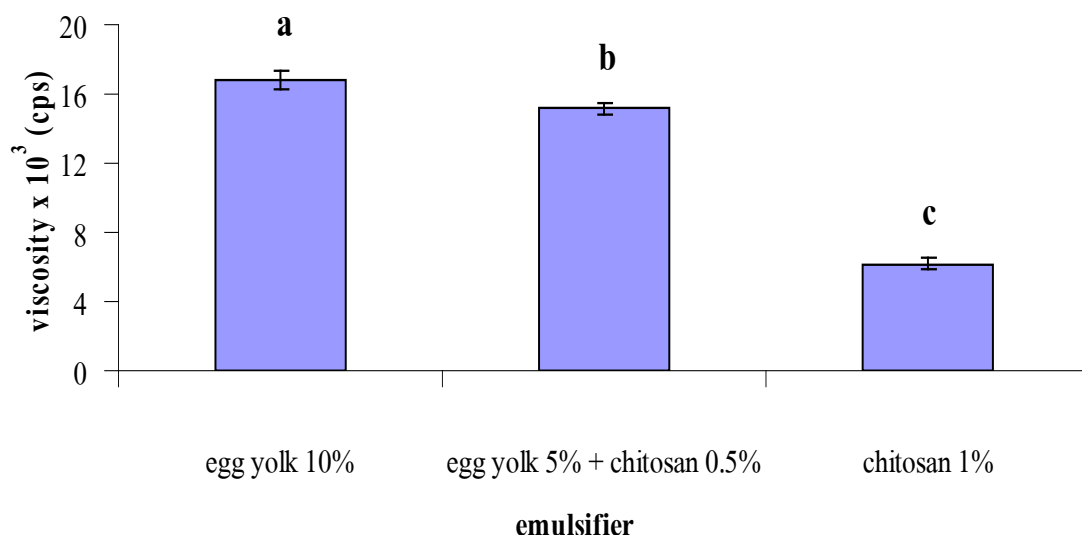
4.1 ความหนืดของน้ำสลัด (viscosity of salad dressing)

เมื่อนำน้ำสลัดที่มีอัตราส่วนของตัวทำอิมัลชันแตกต่างกัน 3 สูตร มาวัดค่าความหนืด พบว่าน้ำสลัดสูตรที่ 1 ซึ่งมีเฉพาะไขแดงเป็นตัวทำอิมัลชัน มีความหนืดสูงกว่าน้ำสลัดสูตรที่ 2 และ 3 อย่างมีนัยสำคัญทางสถิติ ($p < 0.05$) (ตารางภาคผนวกที่ 13) (ภาพที่ 9) เนื่องจากไลโปโปรตีนในไขแดงมีโครงสร้างโมเลกุลที่มีความสามารถในการจับน้ำ จับไขมันสูง (amphiphilic polyelectrolytes) และจัดได้ว่าเป็นตัวทำอิมัลชันที่มีขนาดใหญ่ ซึ่งทำหน้าที่รักษาความคงตัวของอิมัลชัน (Gulimoneau and Kulozik, 2005) โดยใช้กลไกการเพิ่มประจุบนพื้นผิวของอนุภาคเม็ดไขมัน (charge stabilization) และกลไกการกีดขวางที่พื้นผิวของอนุภาคเม็ดไขมันในระดับโมเลกุลและระดับอนุภาค (steric

stabilization) ทำให้เกิดพันธะและการประสานตัวระหว่างโมเลกุลหรืออนุภาคจำนวนมาก ส่งผลให้น้ำสลัดมีความหนืดสูง (Guilmoneau and Kulozik, 2005; McClement, 1999)

ในขณะที่เดียวกันกลับพบว่าน้ำสลัดสูตรที่ 2 ซึ่งมีการใช้ไข่แดงร่วมกับสารละลายไคโตแซนในการทำหน้าที่เป็นตัวทำอิมัลชัน มีค่าความหนืดน้อยกว่าน้ำสลัดสูตรที่ 1 อย่างมีนัยสำคัญทางสถิติ ($p < 0.05$) (ตารางภาคผนวกที่ 13) (ภาพที่ 9) ทั้งที่ไคโตแซนก็มีโครงสร้างโมเลกุลที่มีความสามารถในการจับน้ำและจับไขมันได้เช่นกัน (Amphiphilic polyelectrolytes) (Rodriguez *et al.*, 2002) อาจเป็นเพราะไคโตแซนเป็นอิมัลชันที่มีขนาดเล็ก อีกทั้งมีการลดปริมาณไข่แดงลงเหลือเพียงร้อยละ 5 ทำให้มีปริมาณไลโปโปรตีนในการทำหน้าที่เป็นตัวทำอิมัลชันลดลง ส่งผลให้น้ำสลัดมีค่าความหนืดลดลง

นอกจากนี้พบว่าน้ำสลัดสูตรที่ 3 ซึ่งมีเฉพาะสารละลายไคโตแซนเป็นตัวทำอิมัลชัน เกิดการแยกชั้นระหว่างส่วนของน้ำและไขมันอย่างชัดเจน อาจเนื่องมาจากอัตราส่วนระหว่างสารละลายไคโตแซนและน้ำมันที่ใช้ไม่เหมาะสม ซึ่งผลการทดลองข้อ 3.1 พบว่าอัตราส่วนระหว่างสารละลายไคโตแซนต่อน้ำมันพืชที่เหมาะสมคือ 9:1 (น้ำหนักต่อน้ำหนัก) ในขณะที่ปริมาณน้ำมันพืชในน้ำสลัดที่ทำการผลิตมีสูงถึงร้อยละ 68 ของน้ำหนักส่วนผสมทั้งหมด ส่งผลให้มีปริมาณไคโตแซนไม่เพียงพอในการเคลือบที่ผิวของอนุภาคเม็ดไขมัน ทำให้น้ำสลัดที่ผลิตได้ไม่คงตัว (Mun *et al.*, 2006) ส่งผลให้มีค่าความหนืดต่ำที่สุดเมื่อเปรียบเทียบกับน้ำสลัดสูตรอื่น (ภาพที่ 9)



ภาพที่ 9 ความหนืดของน้ำสลัดที่เตรียมจากตัวทำอิมัลชันแตกต่างกัน บาร์=ค่าเบี่ยงเบนมาตรฐานจากการทดลอง 3 ซ้ำ ตัวอักษรที่ต่างกันมีความแตกต่างอย่างมีนัยสำคัญทางสถิติ ($p < 0.05$)

Figure 9. Viscosity of salad dressing with different emulsifier Bars represent S.D. (n=3)

Different letters on the bars indicate the significant differences ($p < 0.05$)

4.2 พฤติกรรมการไหลของน้ำสลัด (rheology behavior of salad dressing)

เมื่อนำน้ำสลัดที่มีอัตราส่วนของตัวทำอิมัลชันแตกต่างกัน 3 สูตร มาศึกษาลักษณะพฤติกรรมการไหลของน้ำสลัด โดยทำการพล็อตกราฟระหว่างค่าแรงเค้นเฉือน (shear stress) กับอัตราเฉือน (shear rate) (ภาพที่ 10) พบว่าน้ำสลัดสูตรที่ 1 (ไข่แดงร้อยละ 10) น้ำสลัดสูตรที่ 2 (ไข่แดงร้อยละ 5 + สารละลายไคโตแซนร้อยละ 0.5) และน้ำสลัดสูตรที่ 3 (สารละลายไคโตแซนร้อยละ 1) ที่ค่าแรงเค้นเฉือนมีค่าต่ำ น้ำสลัดจะไม่มีการเคลื่อนที่แต่อย่างใด ต้องเพิ่มแรงเค้นเฉือนจนน้ำสลัดเกิดการเคลื่อนที่ โดยเรียกค่าแรงเค้นเฉือนที่มีผลทำให้ของไหลเกิดการเคลื่อนที่ ว่าค่า yield stress (วันชัย สุทธิบุญ, 2544; McClement, 1999; Toledo, 1991) น้ำสลัดสูตรที่ 1 มีค่า yield stress สูงกว่าน้ำสลัดสูตรที่ 2 และ 3 อย่างมีนัยสำคัญทางสถิติ ($p < 0.05$) (ตารางภาคผนวกที่ 14) (ตารางที่ 15) เนื่องจากไลโปโปรตีนในไข่แดงทำให้เกิดพันธะและการประสานตัวระหว่างโมเลกุลหรืออนุภาคจำนวนมาก ส่งผลให้น้ำสลัดมีความหนืดสูง (Guilmoneau and Kulozik, 2005; McClement, 1999) ทำให้ต้องใช้แรงเค้นเฉือนมากในการทำให้ของไหลเกิดการเคลื่อนที่

ในขณะที่เดียวกันกลับพบว่าน้ำสลัดสูตรที่ 2 ซึ่งมีการใช้ไข่แดงร่วมกับสารละลายไคโตแซนในการทำหน้าที่เป็นตัวทำอิมัลชัน มีค่า yield stress น้อยกว่าน้ำสลัดสูตรที่ 1 อย่างมีนัยสำคัญทางสถิติ ($p < 0.05$) (ตารางภาคผนวกที่ 14) อาจเป็นเพราะไคโตแซนเป็นอิมัลชันที่มีขนาดเล็ก อีกทั้งมีการลดปริมาณไข่แดง ทำให้มีปริมาณไลโปโปรตีนในการทำหน้าที่เป็นตัวทำอิมัลชันลดลง ส่งผลให้น้ำสลัดมีค่าความหนืดลดลง จึงใช้แรงเค้นเฉือนน้อยในการทำให้ของไหลเกิดการเคลื่อนที่

นอกจากนี้พบว่าน้ำสลัดสูตรที่ 3 ซึ่งมีเฉพาะสารละลายไคโตแซนเป็นตัวทำอิมัลชัน มีค่า yield stress น้อยที่สุดเมื่อเปรียบเทียบกับน้ำสลัดสูตรอื่น เนื่องจากมีปริมาณสารละลายไคโตแซนไม่มากพอในการเคลือบที่ผิวของอนุภาคเม็ดไขมัน ทำให้น้ำสลัดไม่คงตัว เกิดการแยกชั้นระหว่างส่วนของน้ำและน้ำมันอย่างชัดเจน (Mun *et al.*, 2006) จึงใช้แรงเค้นเฉือนน้อยในการทำให้ของไหลเกิดการเคลื่อนที่

ตารางที่ 15 ค่าแรงเค้นเฉือนที่ทำให้ น้ำสลัดเกิดการเคลื่อนที่

Table 15. Yield stress of salad dressing

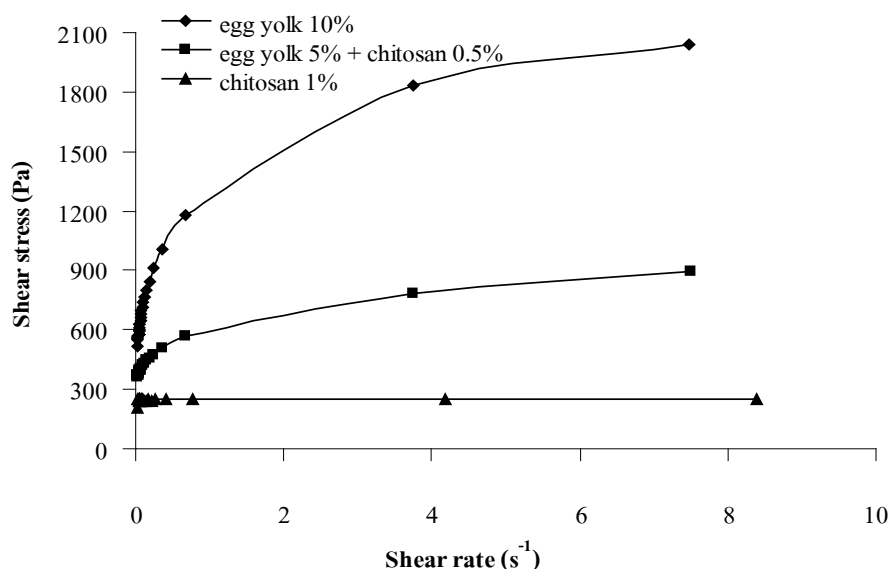
Salad dressing formula	Emulsifier	Yield stress (Pa)*
1	Egg yolk 10%	517.24±13.05 ^a
2	Egg yolk 5%+Chitosan 0.5%	361.38±8.50 ^b
3	Chitosan 1%	207.21±10.15 ^c

ตัวอักษรที่ต่างกันในกลุ่มเดียวกันมีความแตกต่างอย่างมีนัยสำคัญทางสถิติ ($p < 0.05$)

* ค่าเฉลี่ย ± ค่าเบี่ยงเบนมาตรฐานจากการทดลอง 3 ซ้ำ * Mean ± standard deviation (n=3)

Different letters in the same column indicate the significant differences ($p < 0.05$)

จากกราฟระหว่างค่าแรงเค้นเฉือน (shear stress) กับ อัตราเฉือน (shear rate) (ภาพที่ 10) พบว่า น้ำสลัดสูตรที่ 1 และ 2 มีลักษณะของกราฟเป็นเส้นโค้งขึ้น ซึ่งเป็นลักษณะกราฟของไหลที่มีพฤติกรรมการไหลแบบนอน-นิวโตเนียน การที่เกิดลักษณะการไหลประเภทนี้เป็นเพราะภายในของไหลมีขนาดของอนุภาคที่มีขนาดและรูปร่างต่างกัน ส่งผลให้ในช่วงช่วงการไหลเกิดลักษณะไม่ราบรื่น (วันชัย สุทธิบุญ, 2544; McClement, 1999; Toledo, 1991) นอกจากนี้พบว่า ลักษณะทางกายภาพของน้ำสลัดสูตรที่ 3 เกิดการแยกชั้นระหว่างส่วนของน้ำและน้ำมันพืชอย่างชัดเจน เนื่องจากอัตราส่วนระหว่างสารละลายไคโตแซนและน้ำมันพืชที่ใช้ไม่เหมาะสม จึงมีปริมาณไคโตแซนไม่เพียงพอในการเคลือบที่ผิวของอนุภาคเม็ดไขมัน (Mun *et al.*, 2006) ดังนั้นค่าที่วัดได้น่าจะเป็นค่าแรงเค้นเฉือนของน้ำมันซึ่งแยกชั้นอยู่ส่วนบนของน้ำสลัดสูตรที่ 3 ทำให้มีลักษณะของกราฟเป็นเส้นตรง ซึ่งเป็นลักษณะกราฟของไหลที่มีพฤติกรรมการไหลแบบนิวโตเนียน คือค่าแรงเค้นเฉือนมีค่าคงที่เมื่ออัตราเฉือนเพิ่มขึ้น (McClement, 1999; Toledo, 1991)



ภาพที่ 10 พฤติกรรมการไหลของน้ำสลัดที่มีตัวทำอิมัลชันแตกต่างกัน

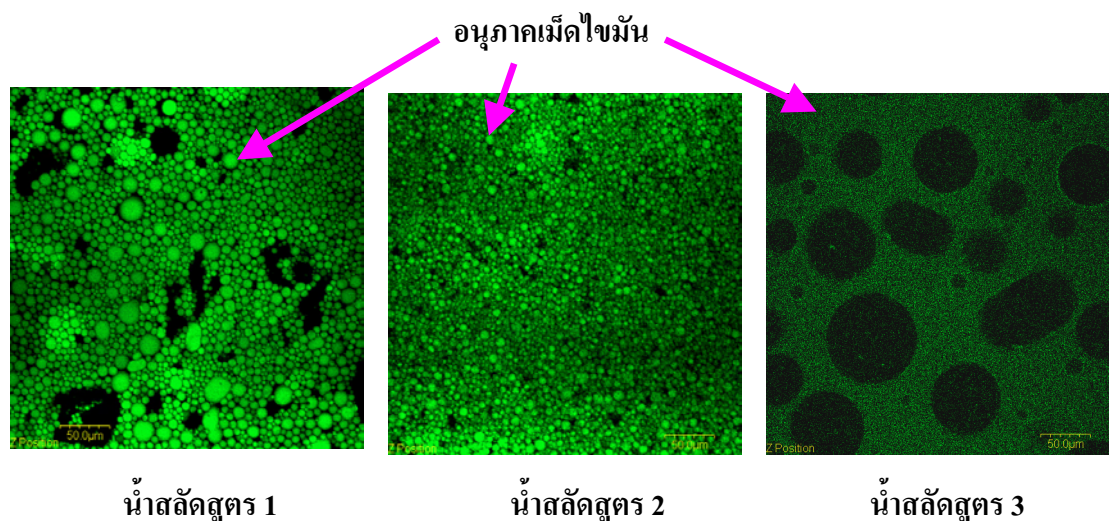
Figure 10. Rheology behavior of salad dressing with different emulsifier

4.3 ขนาดอนุภาคและการกระจายตัวของเม็ดไขมัน (droplet size and droplet distribution of oil droplet)

เมื่อนำน้ำสลัดที่มีอัตราส่วนของตัวทำอิมัลชันแตกต่างกัน 3 สูตร มาเก็บรักษาที่อุณหภูมิห้องเป็นระยะเวลา 24 ชั่วโมง แล้ววัดขนาดอนุภาคและการกระจายตัวของเม็ดไขมันของน้ำสลัดโดยวิธี laser scanning confocal microscope (ภาพที่ 11) พบว่าน้ำสลัดสูตรที่ 1 ซึ่งมีไข่แดงเป็นตัวทำอิมัลชัน มีขนาดอนุภาคขนาดเล็กใหญ่ปะปนกันไป อีกทั้งยังมีลักษณะการกระจายตัวไม่สม่ำเสมอเมื่อเปรียบเทียบกับน้ำสลัดสูตรที่ 2 ซึ่งมีไข่แดงและสารละลายไคโตแซนเป็นตัวทำอิมัลชัน ซึ่งมีอนุภาคของเม็ดไขมันขนาดเล็กและมีการกระจายตัวของเม็ดไขมันสม่ำเสมอ เนื่องจากไคโตแซนเป็นตัวทำอิมัลชันที่มีขนาดเล็ก และสามารถลดแรงตึงผิวได้มาก แต่ไม่มีความสามารถในการรักษาความคงตัวของอิมัลชันในระยะยาว จำเป็นต้องใช้ตัวทำอิมัลชันที่มีขนาดใหญ่ ซึ่งในการทดลองครั้งนี้ คือไลโปโปรตีนในไข่แดง มาทำงานร่วมกันในการรักษาความคงตัวของอิมัลชันโดยใช้กลไกการเพิ่มประจุบนพื้นผิวของอนุภาคเม็ดไขมัน (charge stabilization) และกลไกการกีดขวางที่พื้นผิวของอนุภาคเม็ดไขมันในระดับโมเลกุลและระดับอนุภาค (steric stabilization) ทำให้เกิดพันธะและการประสานตัวระหว่างโมเลกุลหรืออนุภาคจำนวนมาก จึงช่วยลดการเคลื่อนที่เข้าหากันของอนุภาคเม็ดไขมัน ทำให้มีขนาดอนุภาคเม็ดไขมันขนาดเล็ก และมีการกระจายตัวอย่างสม่ำเสมอ น้ำสลัดจึงมีความคงตัวสูง (Guilmoneau and Kulozik, 2005; McClement, 1999) นอกจากนี้มีการ

ศึกษาพบว่าไคโตแซนมีโครงสร้างโมเลกุลที่มีความสามารถในการจับน้ำและไขมัน (amphiphilic polyelectrolytes) และความหนืดของไคโตแซนยังช่วยให้ผลิตภัณฑ์อิมัลชันเกิดความคงตัวมากขึ้น (Aoki *et al.*, 2005; Marie *et al.*, 2002; Ogawa *et al.*, 2003; Rodriguez *et al.*, 2002; Thanasukarn *et al.*, 2006)

จากการทดลองยังพบว่าน้ำสลัดสูตรที่ 3 ซึ่งมีเฉพาะสารละลายไคโตแซนเป็นตัวทำอิมัลชัน เกิดการแยกชั้นระหว่างส่วนของน้ำและไขมันอย่างชัดเจน อาจเนื่องมาจากอัตราส่วนระหว่างสารละลายไคโตแซนและน้ำมันที่ใช้ไม่เหมาะสม ซึ่งผลการทดลองข้อ 3.1 พบว่าอัตราส่วนระหว่างสารละลายไคโตแซนต่อน้ำมันพืชที่เหมาะสมคือ 9:1 (น้ำหนักต่อน้ำหนัก) ในขณะที่ปริมาณน้ำมันพืชในน้ำสลัดที่ทำการผลิตมีสูงถึงร้อยละ 68 ของน้ำหนักส่วนผสมทั้งหมด ส่งผลให้มีปริมาณไคโตแซนไม่เพียงพอในการเคลือบที่ผิวของอนุภาคเม็ดไขมัน ทำให้น้ำสลัดที่ผลิตได้ไม่คงตัว (Mun *et al.*, 2006) ส่งผลให้ไม่สามารถวัดขนาดอนุภาคของเม็ดไขมันได้



ภาพที่ 11 ขนาดอนุภาคและการกระจายตัวของเม็ดไขมันของน้ำสลัดที่มีตัวทำอิมัลชันแตกต่างกัน โดยกล้องจุลทรรศน์คอนโฟคอลเลเซอร์ กำลังขยาย 20 เท่า

Figure 11. Droplet size and droplet distribution of salad dressing with different emulsifier by laser scanning confocal microscope (20x)